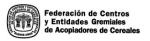


# ¿Cómo podemos mejorar el manejo de las malezas y reducir la aparición de especies resistentes?

Julio A. Scursoni Dr. Prof. Asociado Cátedra Prod. Vegetal(FAUBA)

scursoni@agro.uba.ar







# ¿Por qué no manejamos las malezas y la resistencia a herbicidas?

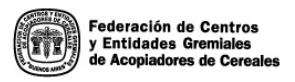
¿O lo hacemos?

Julio A. Scursoni

Dr. Prof. Asociado Cátedra Prod. Vegetal(FAUBA)

scursoni@agro.uba.ar

**Palabras clave**: Dinámica poblacional, Control, Manejo, Resistencia, Tolerancia, Sitios de acción, Ecología de malezas

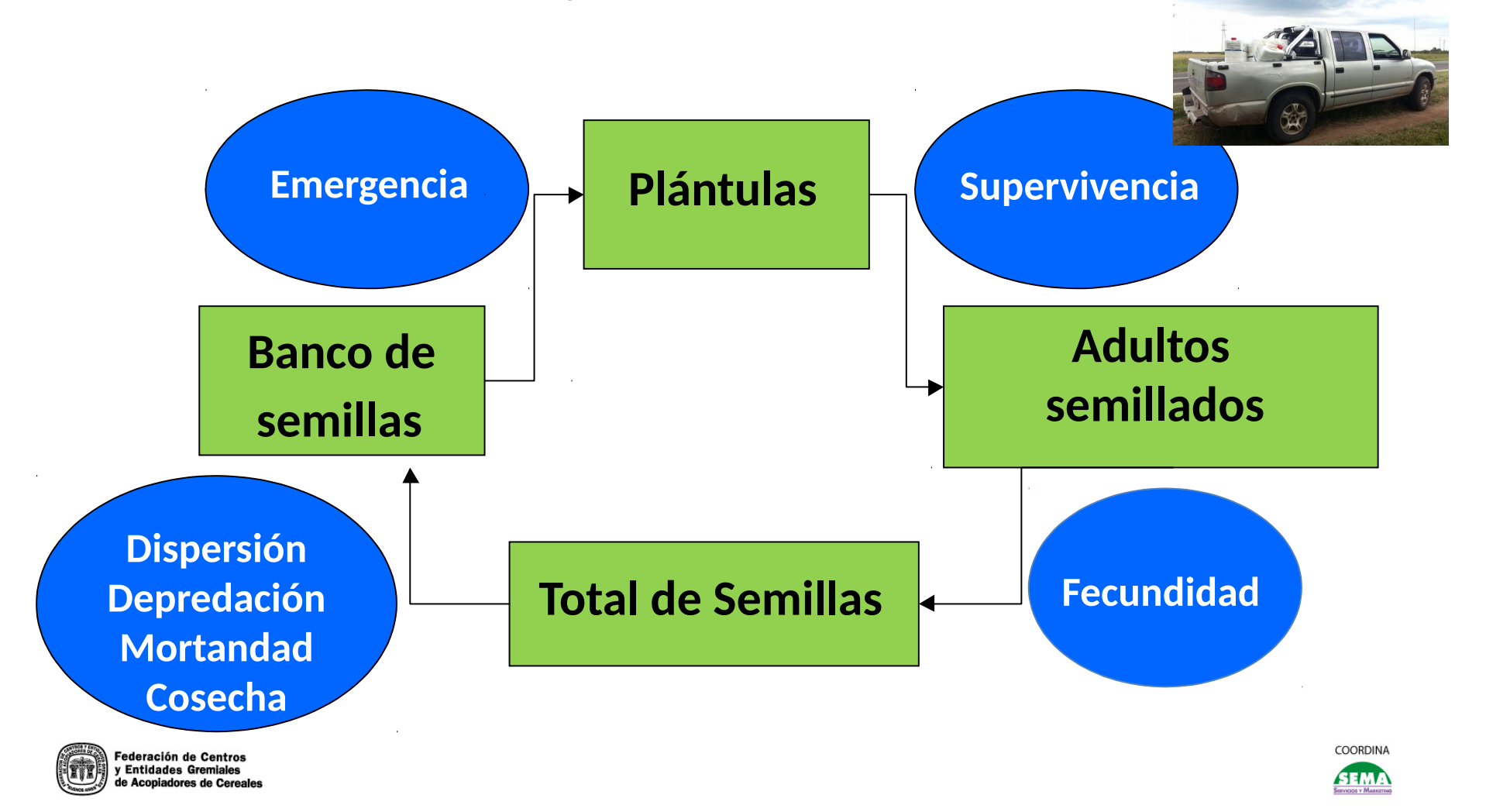






#### Modelo demográfico

La respuesta a: ¿por qué crece una población?





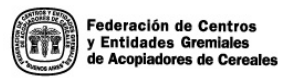
#### ¿Prácticas de control o estrategias de manejo?

#### Prácticas de control

- > Corto plazo
- > Mayor necesidad de insumos
- > Eficacia y costos
- > Resistencia / Contaminación

#### Estrategias de manejo

- > Largo plazo
- > Uso racional de insumos
- > Estudios ecológicos
- > Uso sustentable de recursos







#### Doble efecto de los herbicidas???

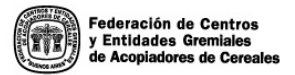
Largo plazo y no deseado: Selección de individuos resistentes



Corto plazo y deseado: reducción de las malezas

Resistencia: Capacidad heredable de un individuo para sobrevivir y reproducirse luego de ser expuesta a una dosis normalmente letal para el biotipo silvestre. Proceso de Selección

**Tolerancia:** Es la capacidad herditaria natural que tienen todas las poblaciones (individuos) de una especie para sobrevivir y reproducirse después del tratamiento con un herbicida. No resulta de un proceso de selección. Es naturalmente tolerante.

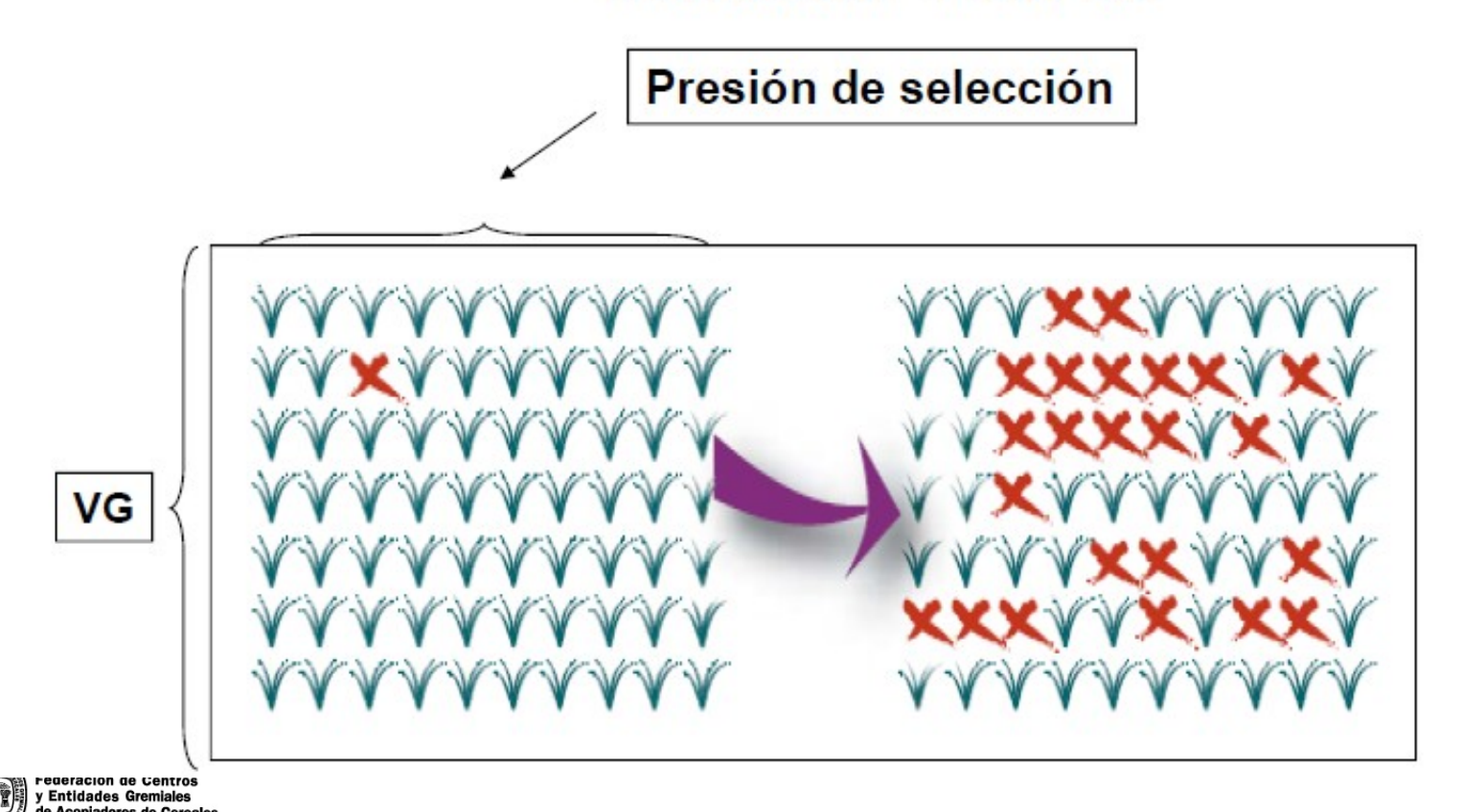






La resistencia a herbicidas ocurre como consecuencia de un proceso de evolucion adaptativa a través de la selección fenotípica ejercida por el herbicida

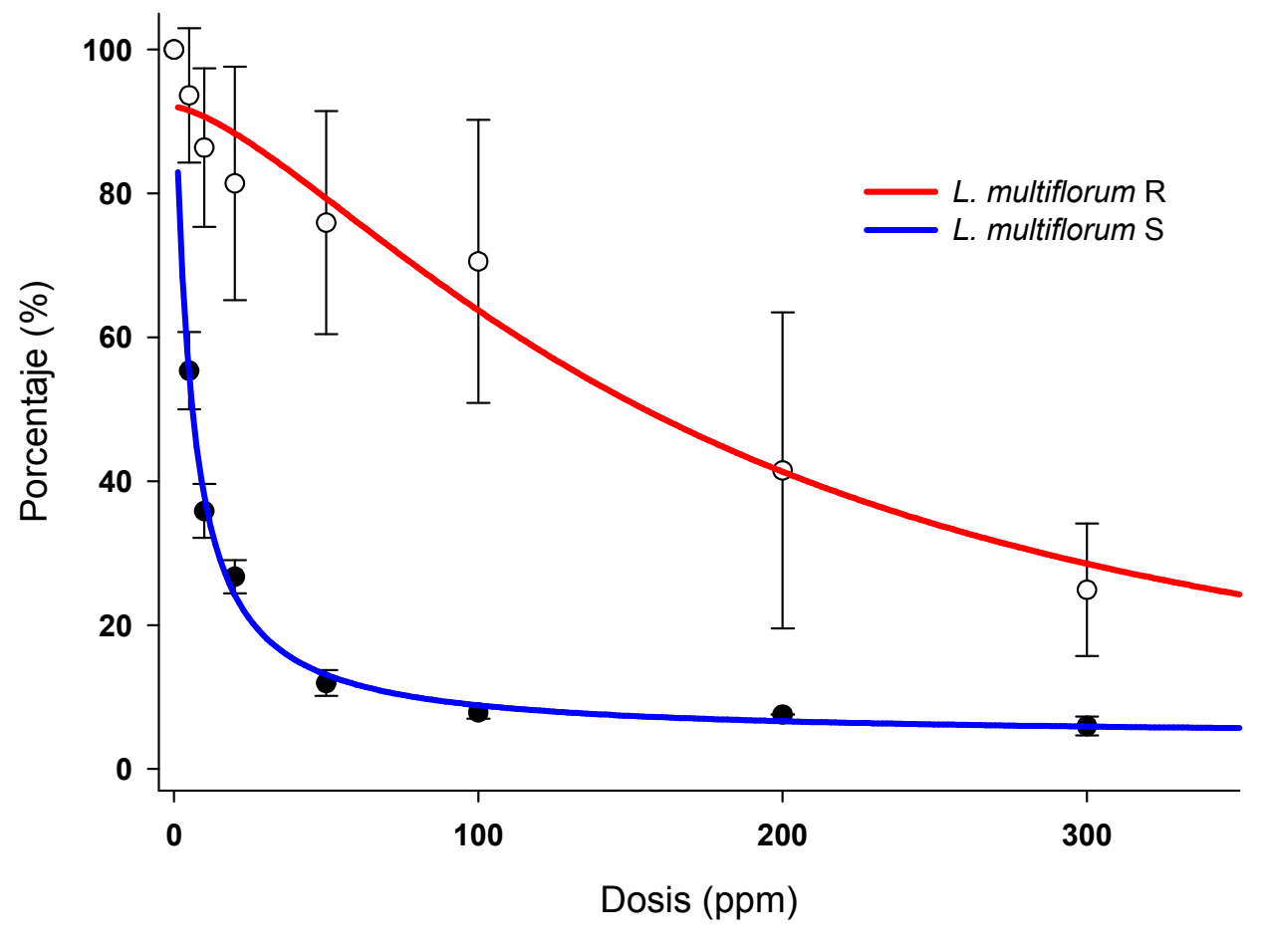
#### Evolución = PS x VG

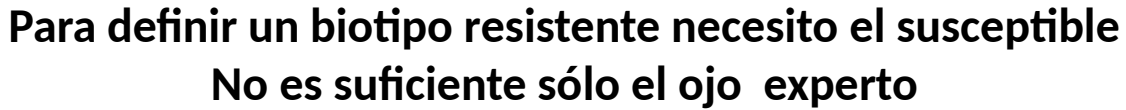






#### Screening de Lolium multiflorum tratadas con glifosato

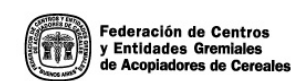






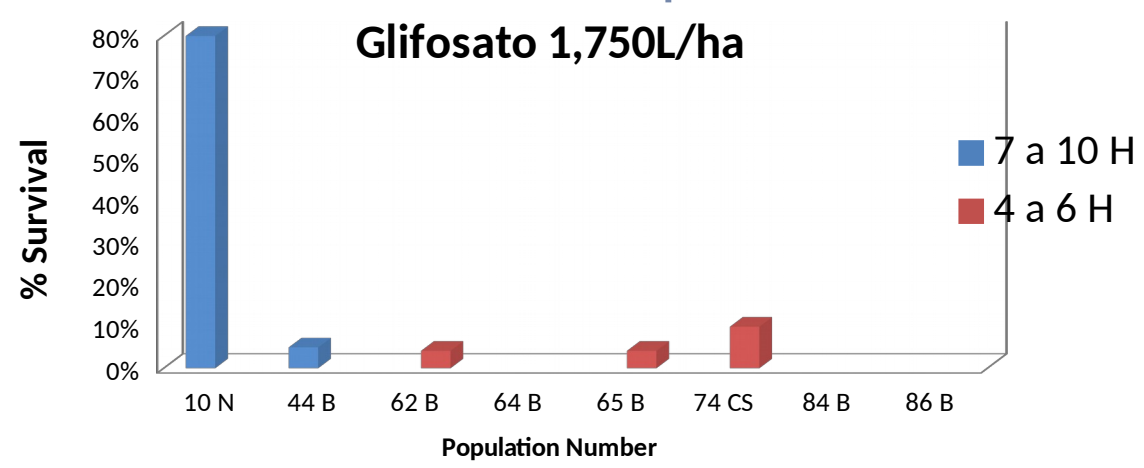
COORDINA

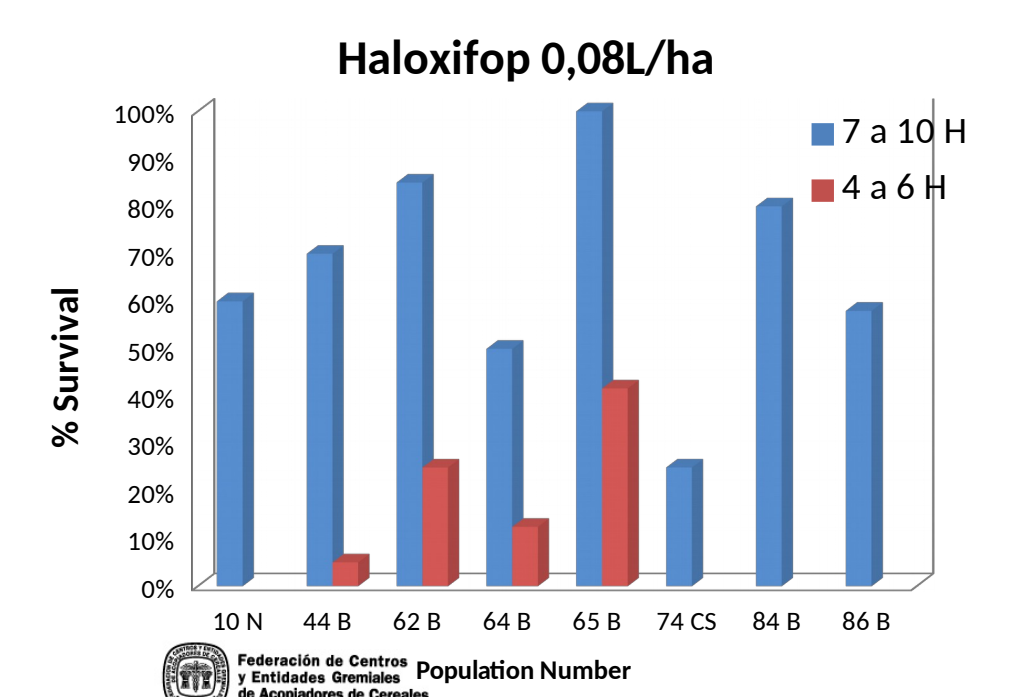
SEMA Serveros y Massermon

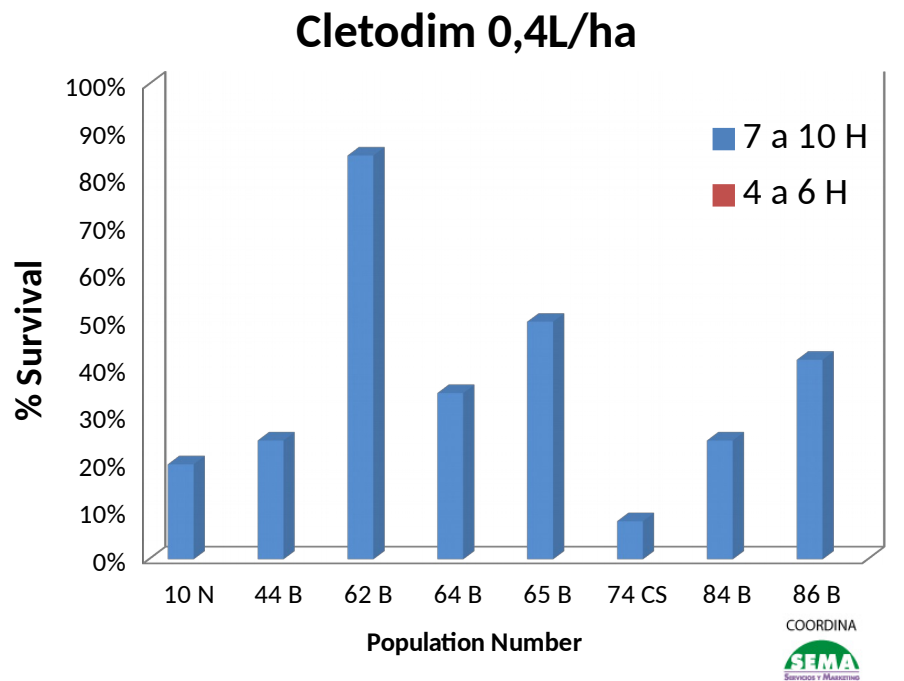




#### Treatment with 8 to 10 expanded leaves











Un protocolo experimental permitirá la identificación de fenotipos resistentes en muestras recogidas de lotes agrícolas





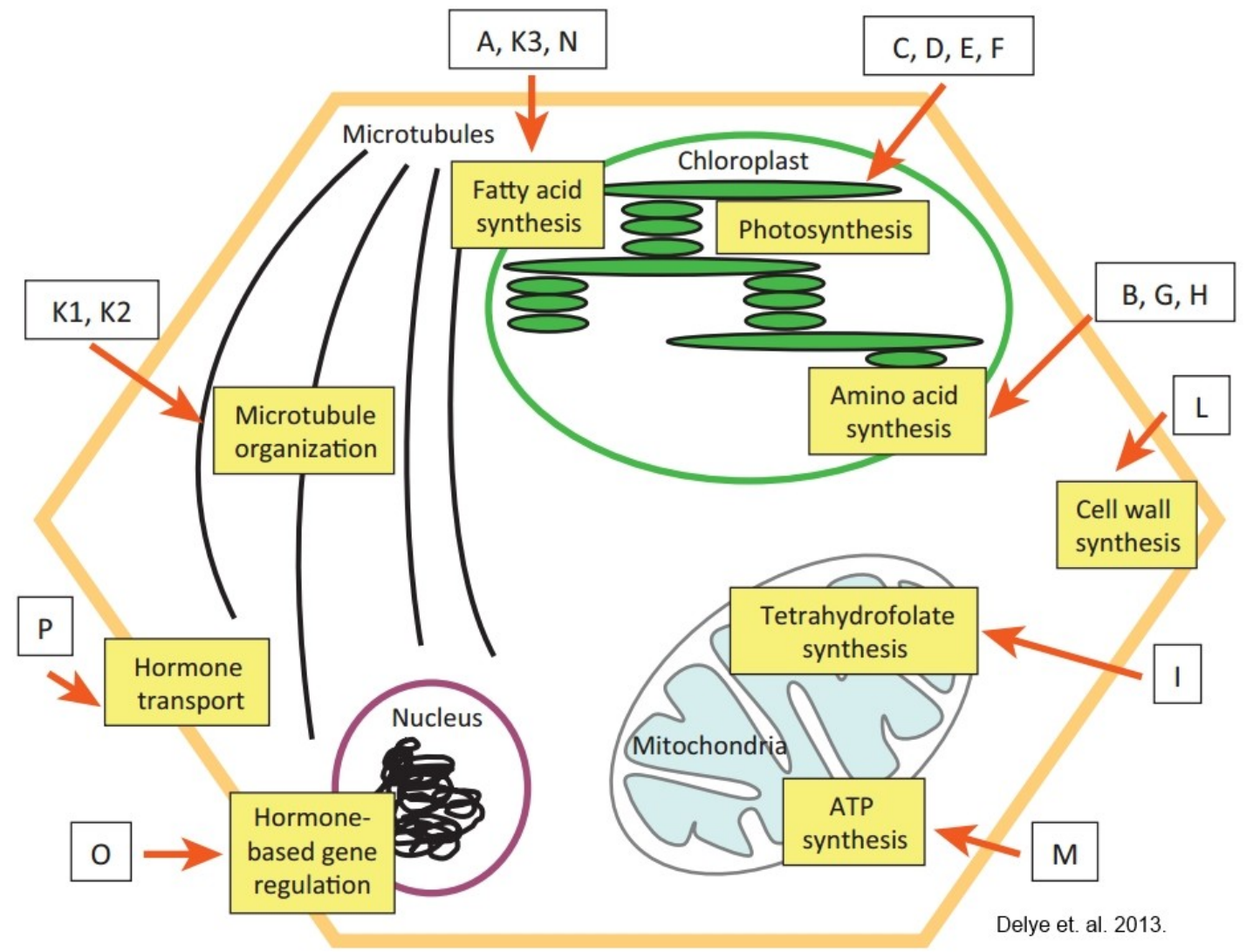
Facultad de Agronomía Universidad de Buenos Aires

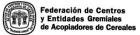






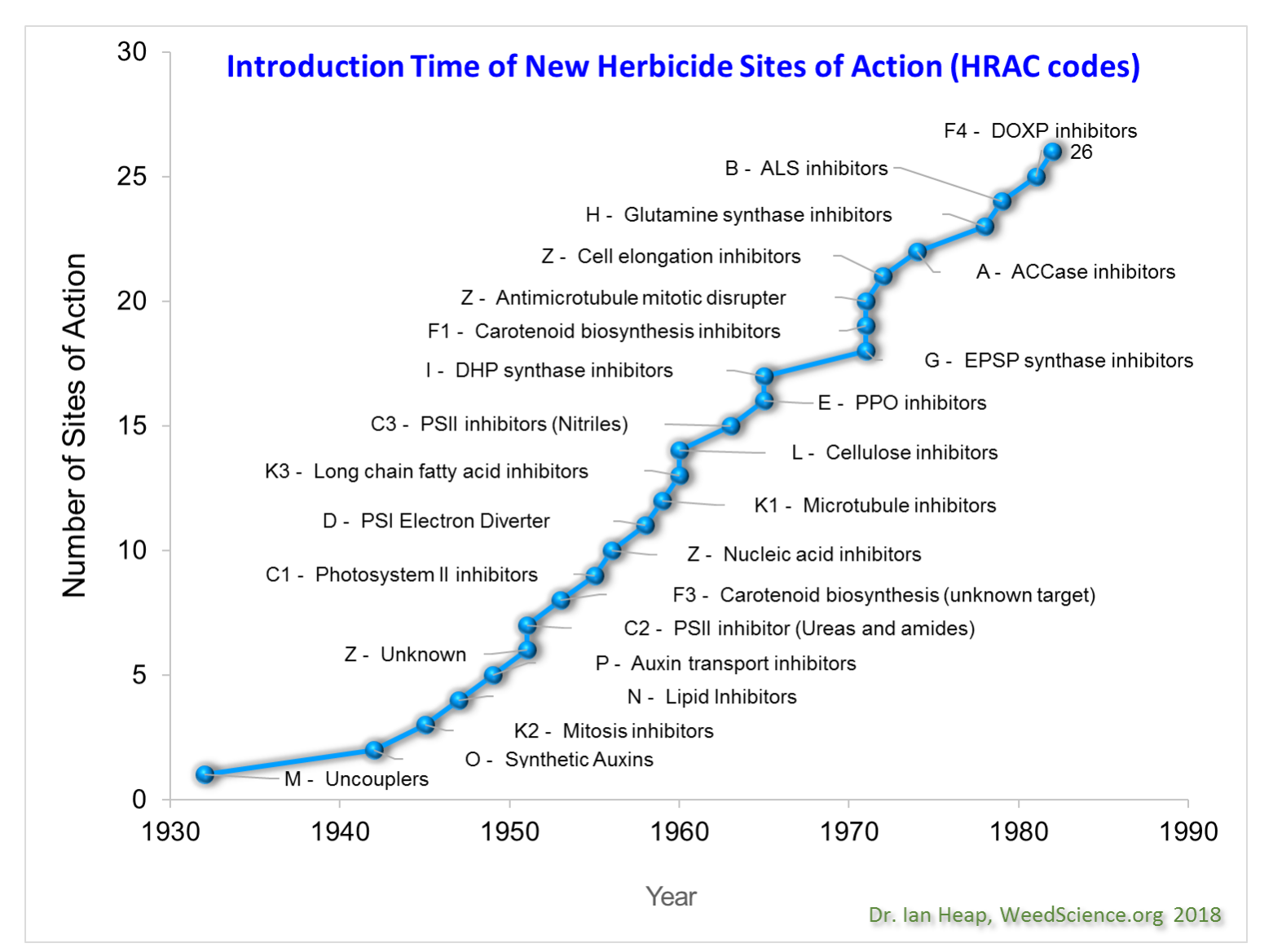
#### Sitios de Acción de diferentes herbicidas y su clasificación según HRAC

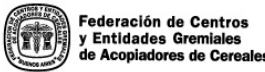






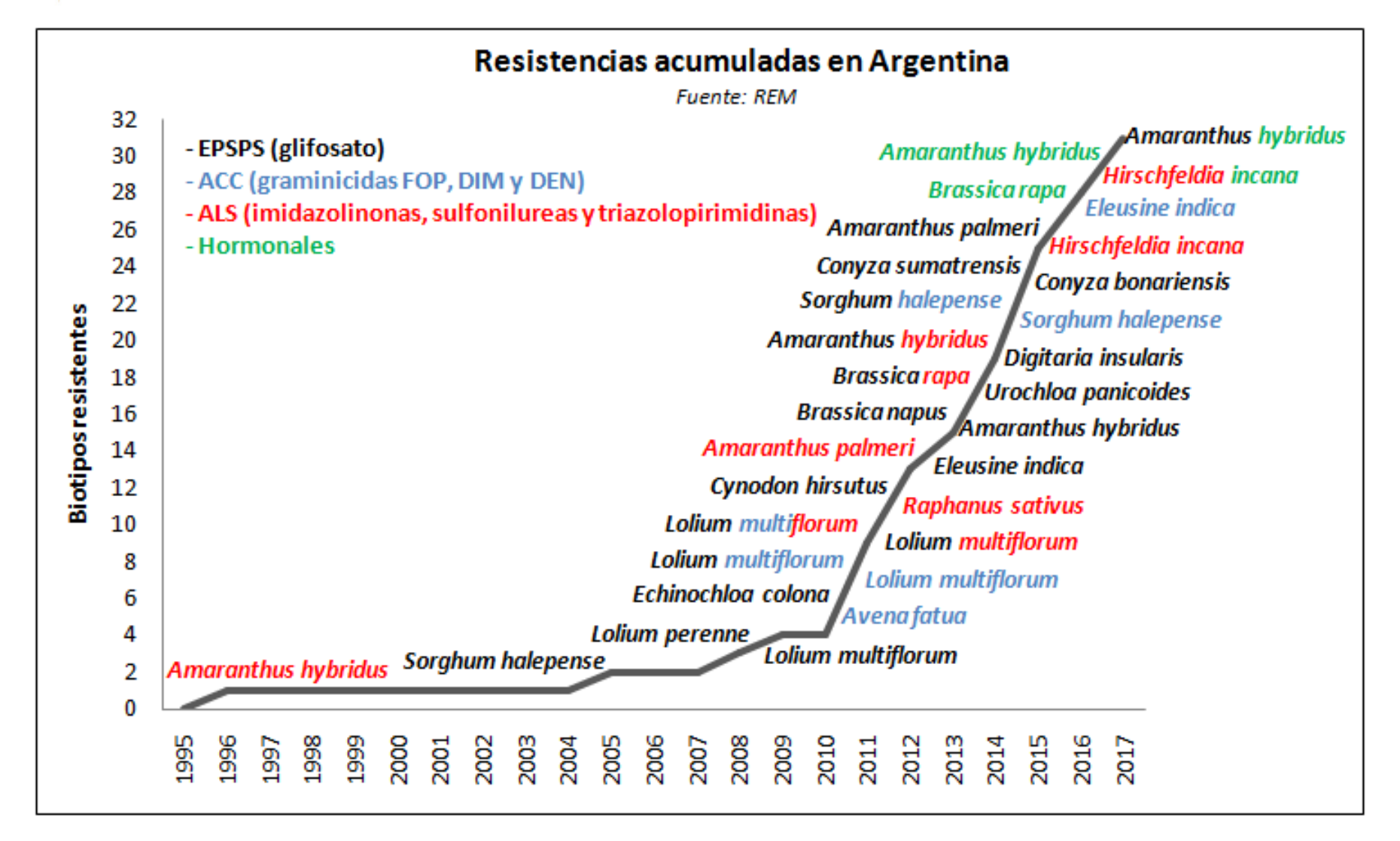


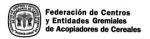
















#### Evolución de la resistencia

$$N_n = N_0 \left(1 + \frac{f\alpha}{\tilde{n}}\right)^n$$

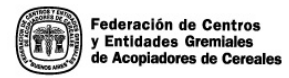
 $N_n$  = frecuencia final de individuos resistentes luego de transcurrido el tiempo n

N<sub>o</sub> = frecuencia inicial de individuos resistentes antes de la aplicación del herbicida

f = fitness de la resistencia

α = presión de selección

 $\tilde{n}$  = edad media del banco de semillas en el suelo







# Prácticas de Manejo Recomendadas para Reducir el riesgo de Resistencia (Adaptado de Norsworthy et al. 2012)

Identificar y Conocer la biología de las malezas presentes.

Rotación de cultivos

Diversificar prácticas destinadas a la reducción del establecimiento, la producción de semillas y del banco de semillas.

Sembrar semillas sin malezas y en condiciones libre de malezas. Mantener el lote limpio (bajas densidades de malezas)

Monitorear rutinariamente el lote.

Rotar/Mezclar herbicidas con distintos sitios de acción. Aplicar las dosis recomendada en marbete en el tamaño adecuado de la maleza.







# Prácticas de Manejo Recomendadas para Reducir el riesgo de Resistencia (Adaptado de Norsworthy et al. 2012)

Utilizar prácticas que reduzcan la competencia de las malezas incrementando la competitividad del cultivo (Genotipos, Densidad de siembra).

Utilizar labranzas oportunamente

Prevenir el movimiento de semillas o propágulos de lote en lote y dentro del lote.

Manejar las semillas en cosecha y en post cosecha para evitar el aumento del banco de semillas.



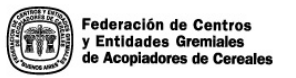




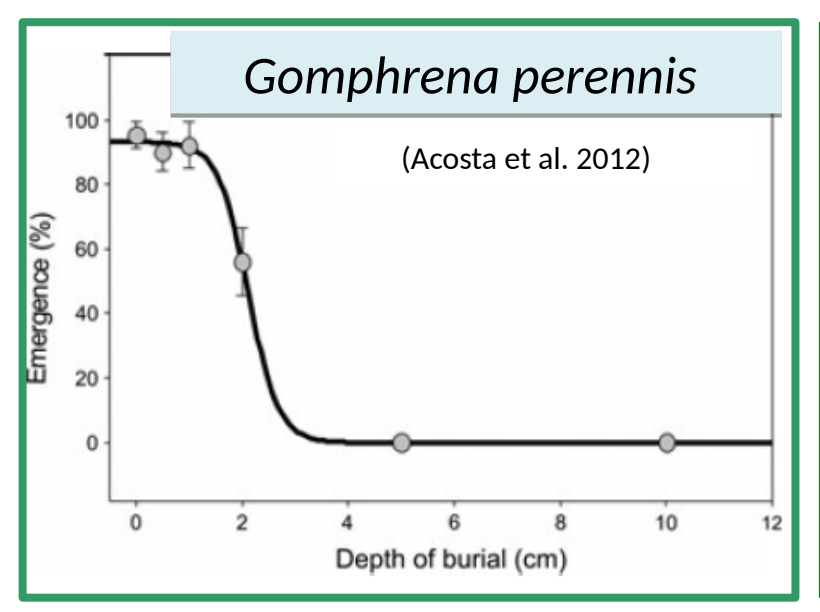
Identificar y Conocer la biología de las malezas presentes.

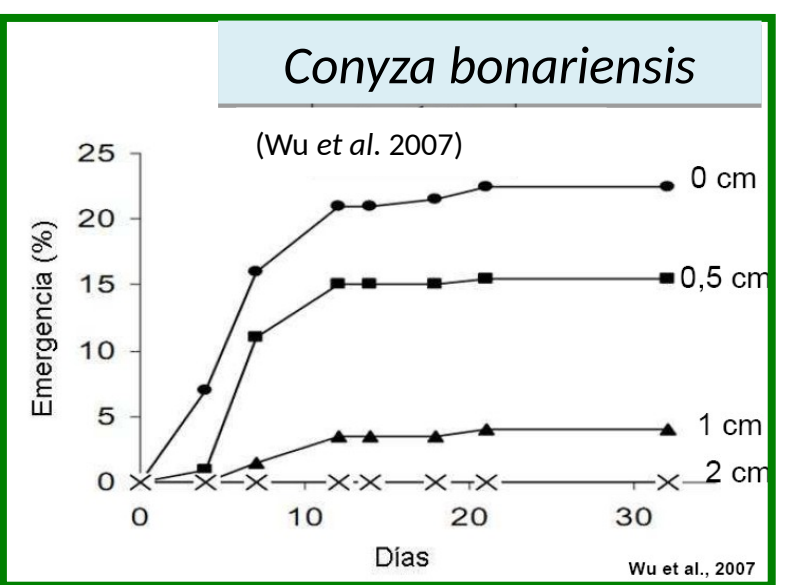
# Factores terminadores de la dormición LUZ, TEMPERATURAS ALTERNADAS

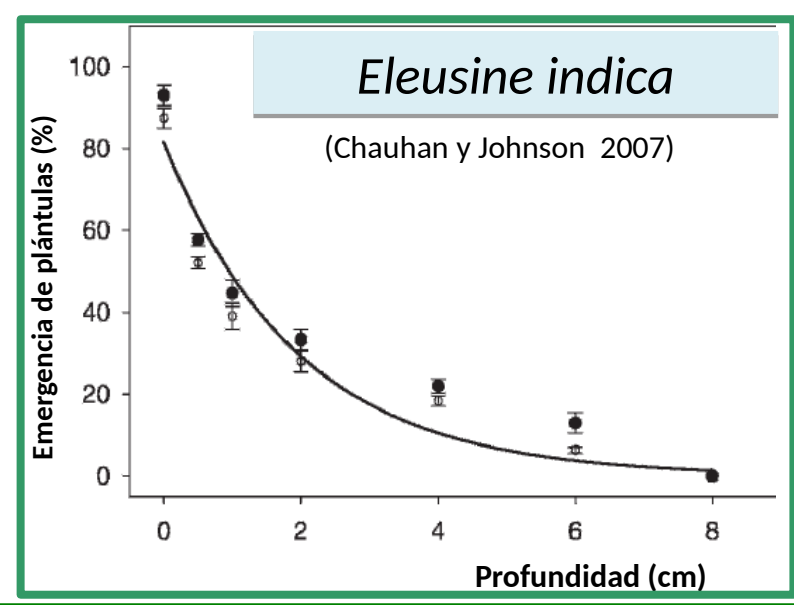
Presencia de un canopeo Profundidad de entierro Cobertura del suelo

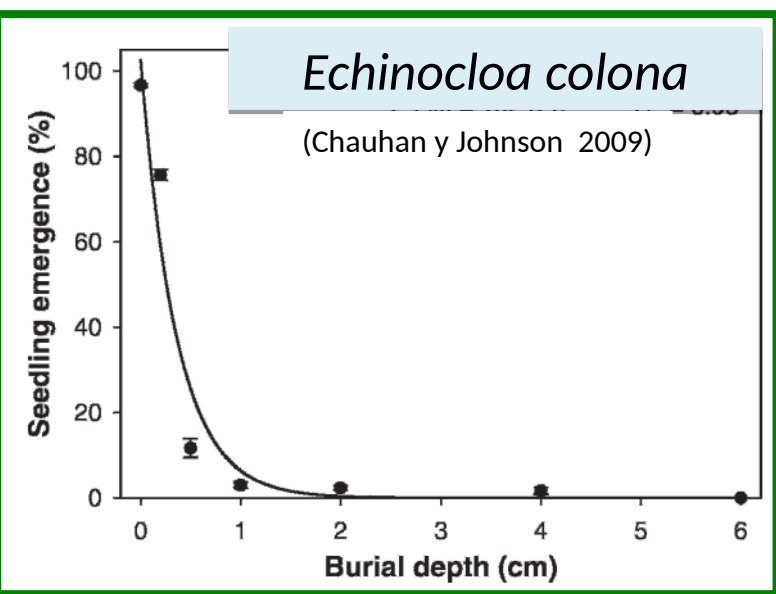








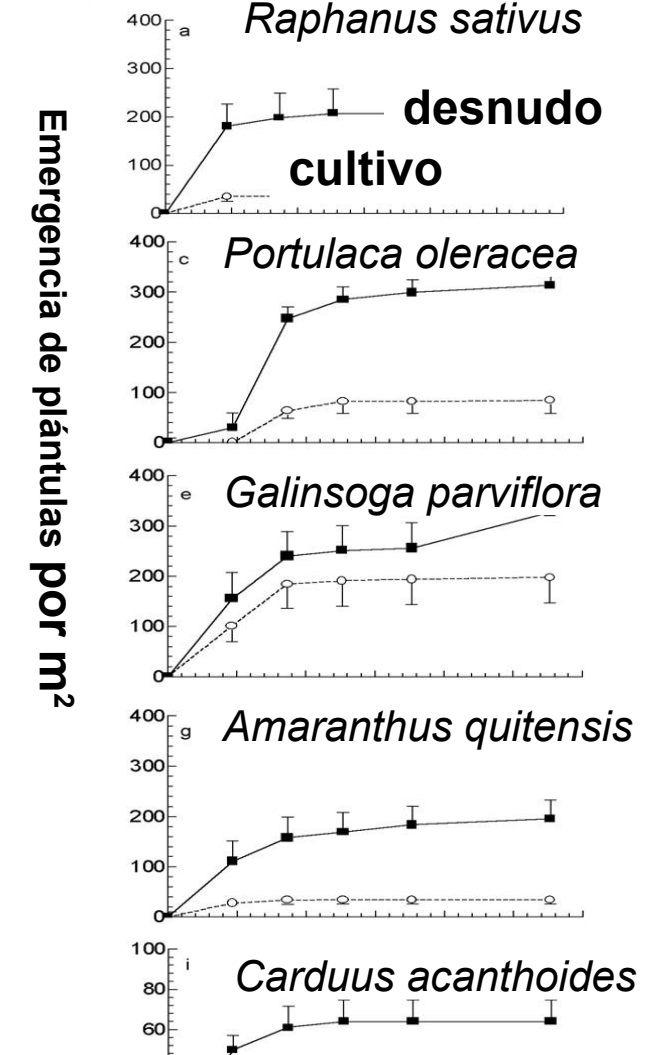




La emergencia es mayor cuando las semillas están a poca profundidad. Esto explicaría en parte el éxito de estas malezas con siembra directa

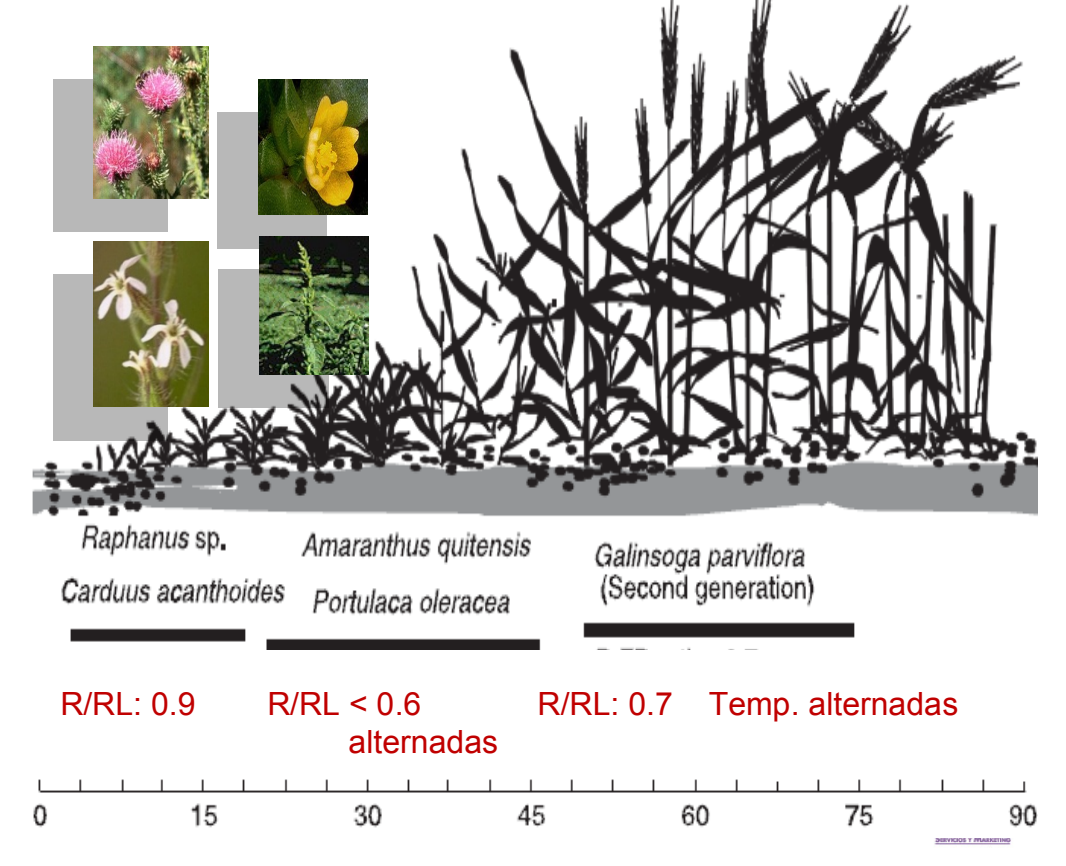


### Prácticas destinadas a la reducción del establecimiento de malezas



El cultivo acompañante interfiere sobre los factores terminadores de la dormición (Kruk, 2000)

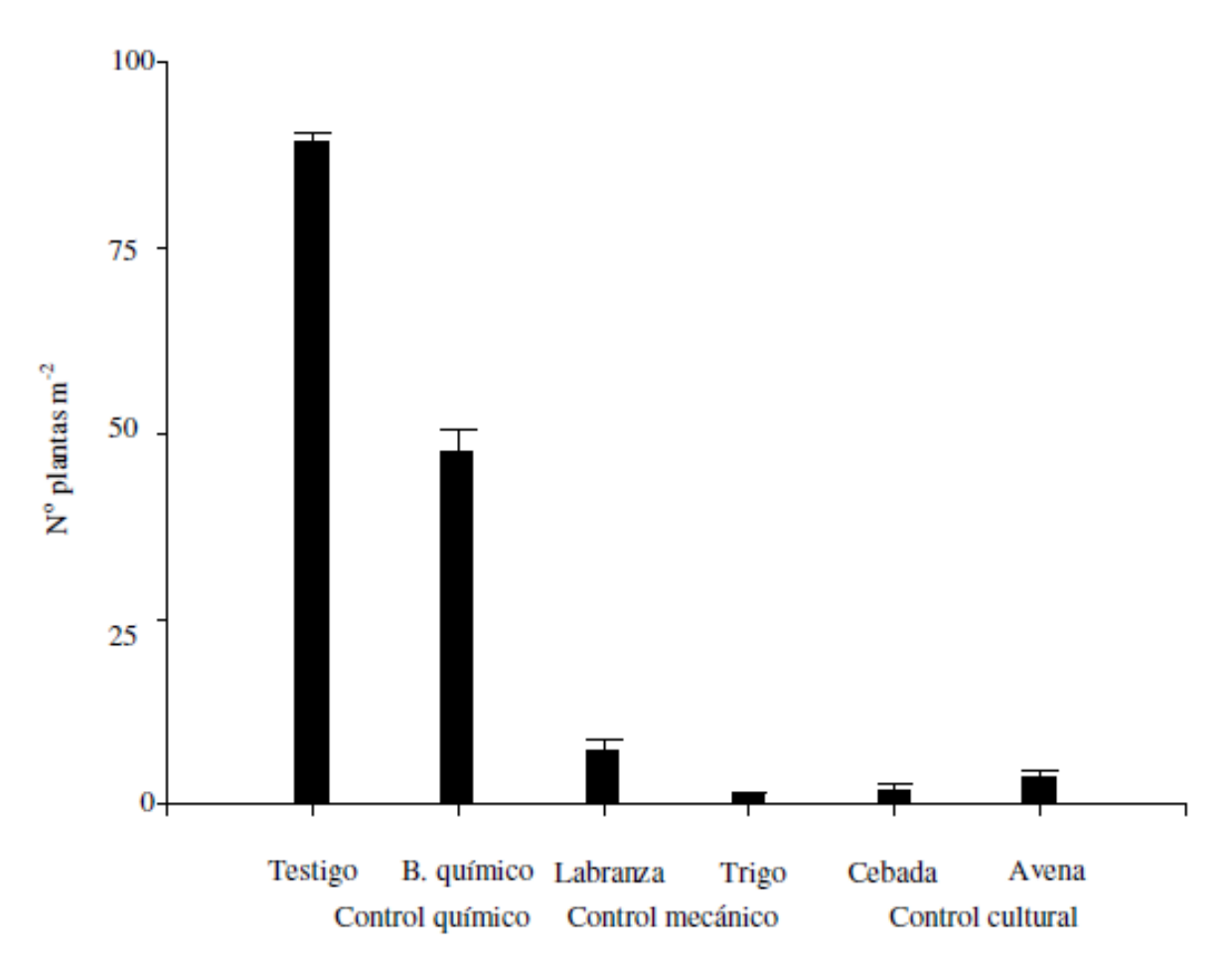
Debajo del canopeo del cultivo **se modifica**: T° (T° alternadas, T° max, T° min) y la calidad lumínica (relación R/RL)\*



Tiempo desde la emergencia (días)



Incidencia de distintas prácticas en el establecimiento de Conyza (Metzler 2013)



Los cultivos de cobertura redujeron 90% promedio la densidad de Conyza respecto al barbecho químico







### barbecho sin aplicación cebada

#### rastrojo de







#### Mantener el lote limpio (bajas densidades de malezas)

#### Impacto de la densidad sobre la frecuencia inicial de resistencia Presión de Selección y Densidad de Malezas

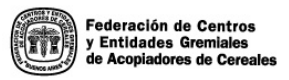
Frecuencia inicial 1/1.000.000

Densidad	Has tratada	as
Delibiada	i lus ti utuat	u

1 planta/m2 100 has

5 plantas/m2 20 has

50 plantas/m2 2 has

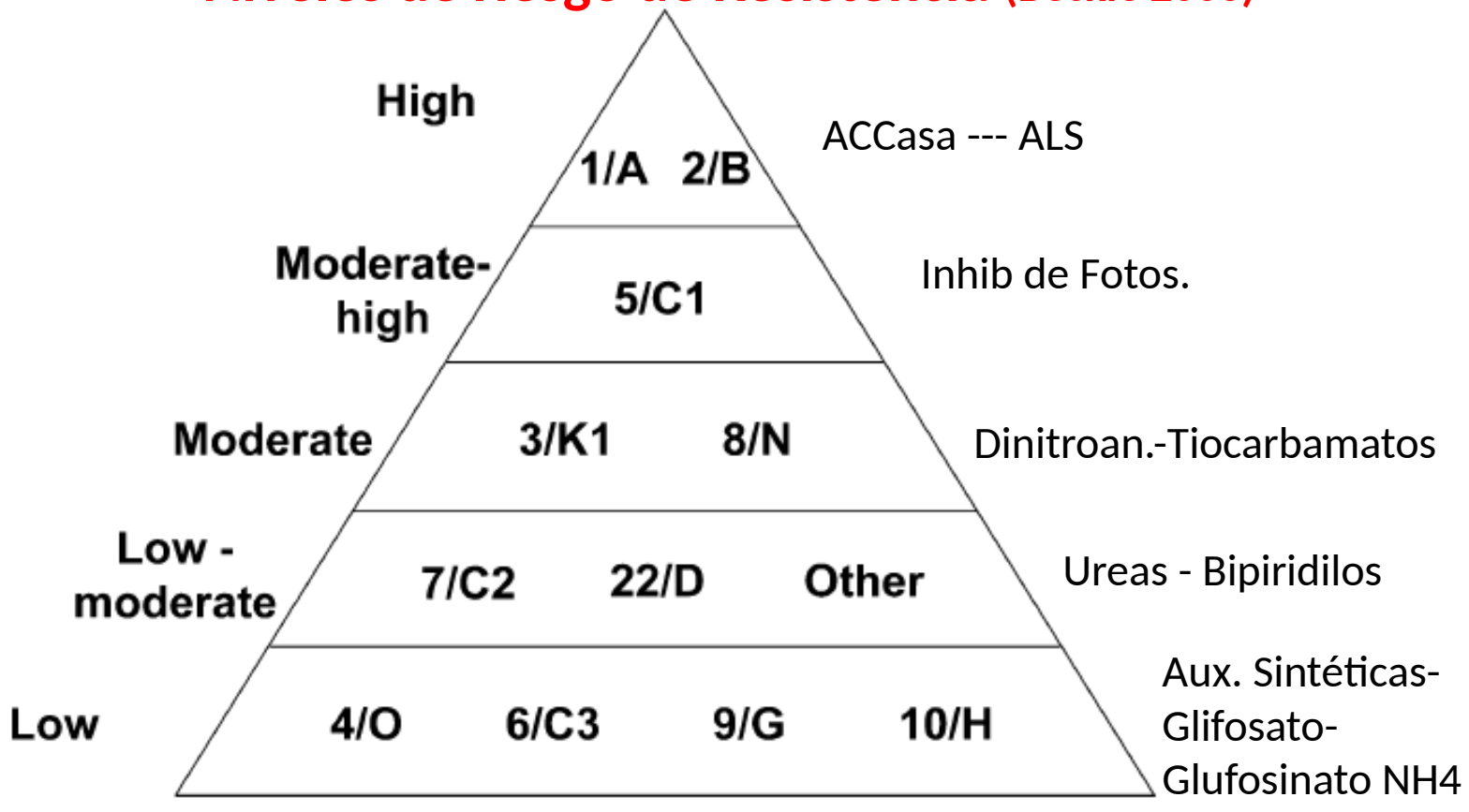




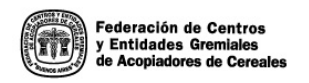


#### Rotar / Mezclar los sitios de acción de los herbicidas

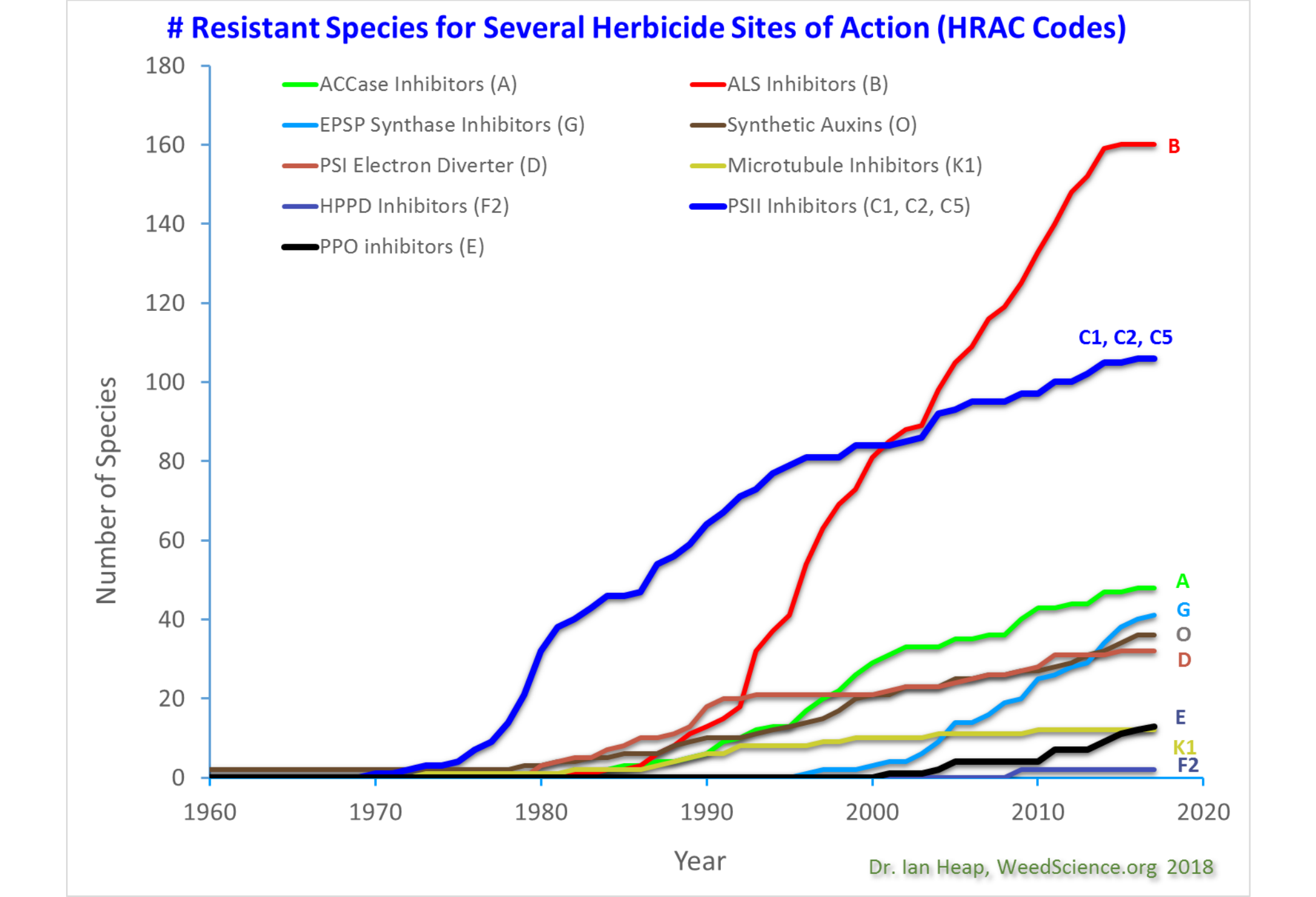
Niveles de riesgo de Resistencia (Beckie 2006)



Numero de aplicaciones: Low: >20; Moderate: 10-20; High: <10







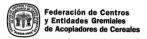


#### Rotar los sitios de acción de los herbicidas

#### Herbicidas disponibles para control de Lolium sp. en cultivos de trigo

#### Lolium multiflorum

Presiembra del cultivo	Postemergencia		
EPSPS	ALS		
Fotosistema I	ACCasa		
Glutamino sintetasa			
PPO			
К3			
ACCasa			



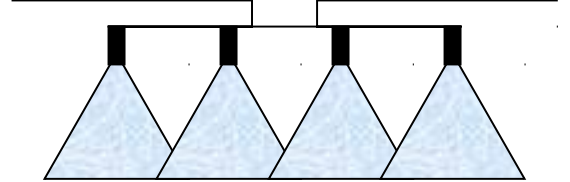




#### Estrategias de control químico de Rama negra

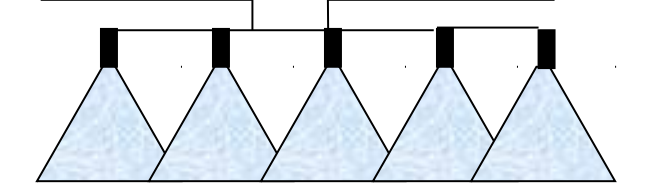
Horm. + Metsulfuron +Glifo + Clorimuron + diclosulam

+Atrazina



Glifo +Flumioxazin
Horm. +sulfentrazone
Glufos +Atrazina
Saflufenacil

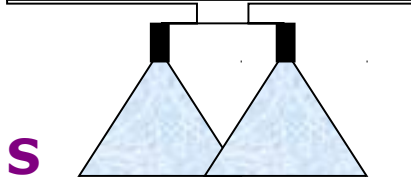
+diclosulam +Clorimuron +IMI



Glifosato+ Metribuzín+ diclosulam

- +cloramsulan +Clorimuron

**PPO- ACCasa** 



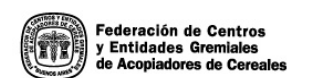
May

Jul

Ago

Oct

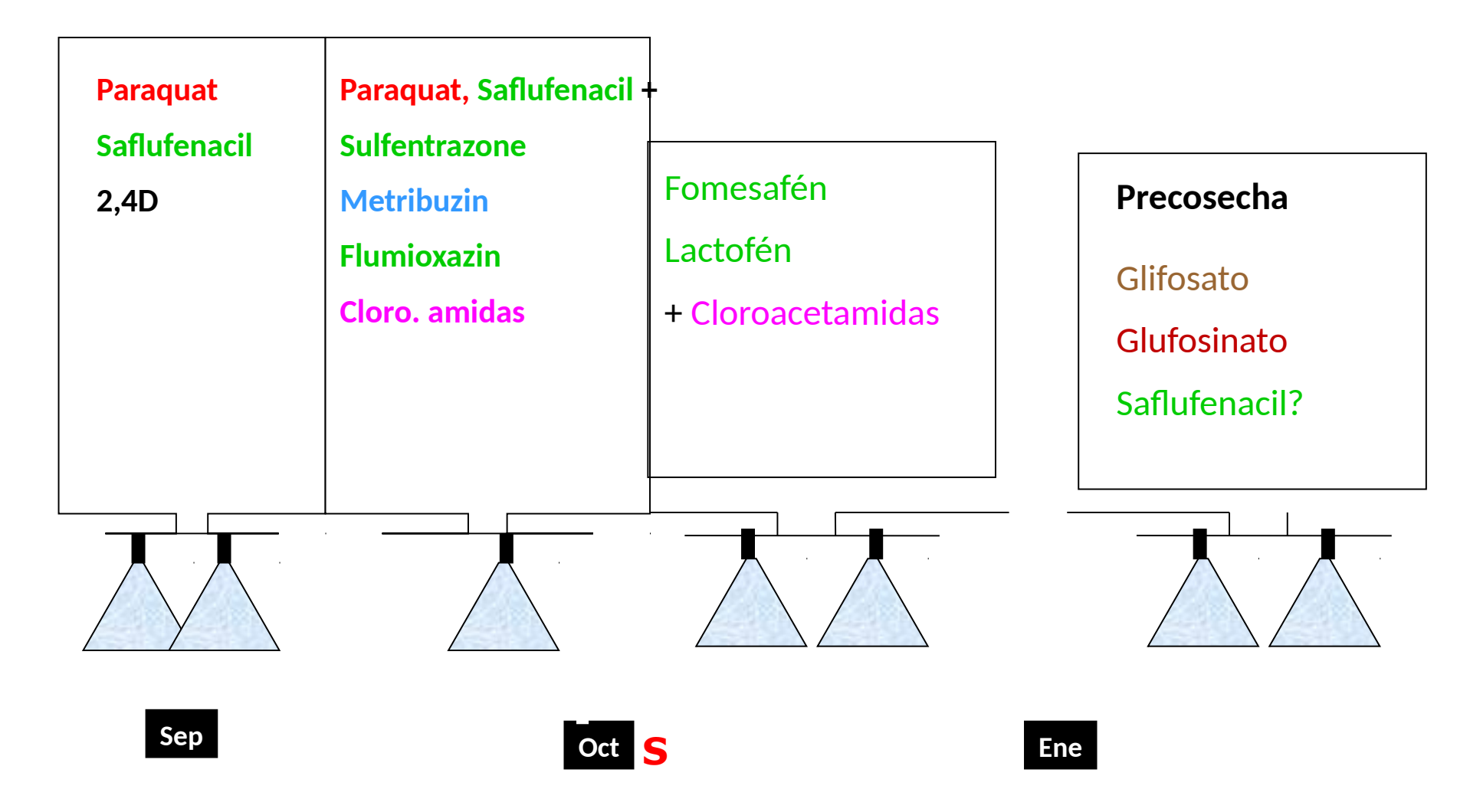
Dic







#### Estrategias de control químico de Amranto RALS y Gly. Soja







#### Dosis subletales en A. fatua y L. rigidum Busi et al. 2016

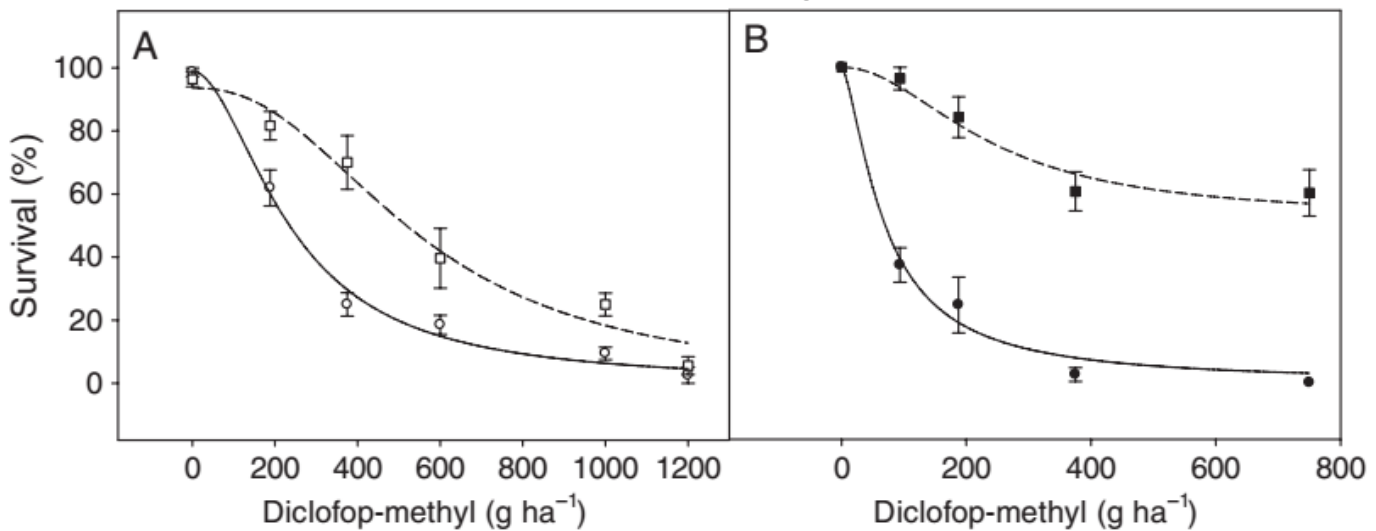


Figure 1. Response to low-dose diclofop-methyl recurrent selection in *A. fatua* (A) versus *L. rigidum* (B). The 3× selected seed progenies and the unselected original parental populations were compared by a herbicide dose – response study. − -o – *A. fatua* parental line (WA); −--- progeny selected 3 times with diclofop-methyl at 375 g diclofop-methyl ha<sup>-1</sup> (WA-P3); − -e – *L. rigidum* parental line (VLR1); − -e – progeny selected 3 times with diclofop-methyl (VLR1 0.1, 0.5, 2.0). Symbols are observed means ± SE (*n* = 6). Lines represent the fitted logistic model [equation (1)]. Graph (B) is redrawn from data obtained by

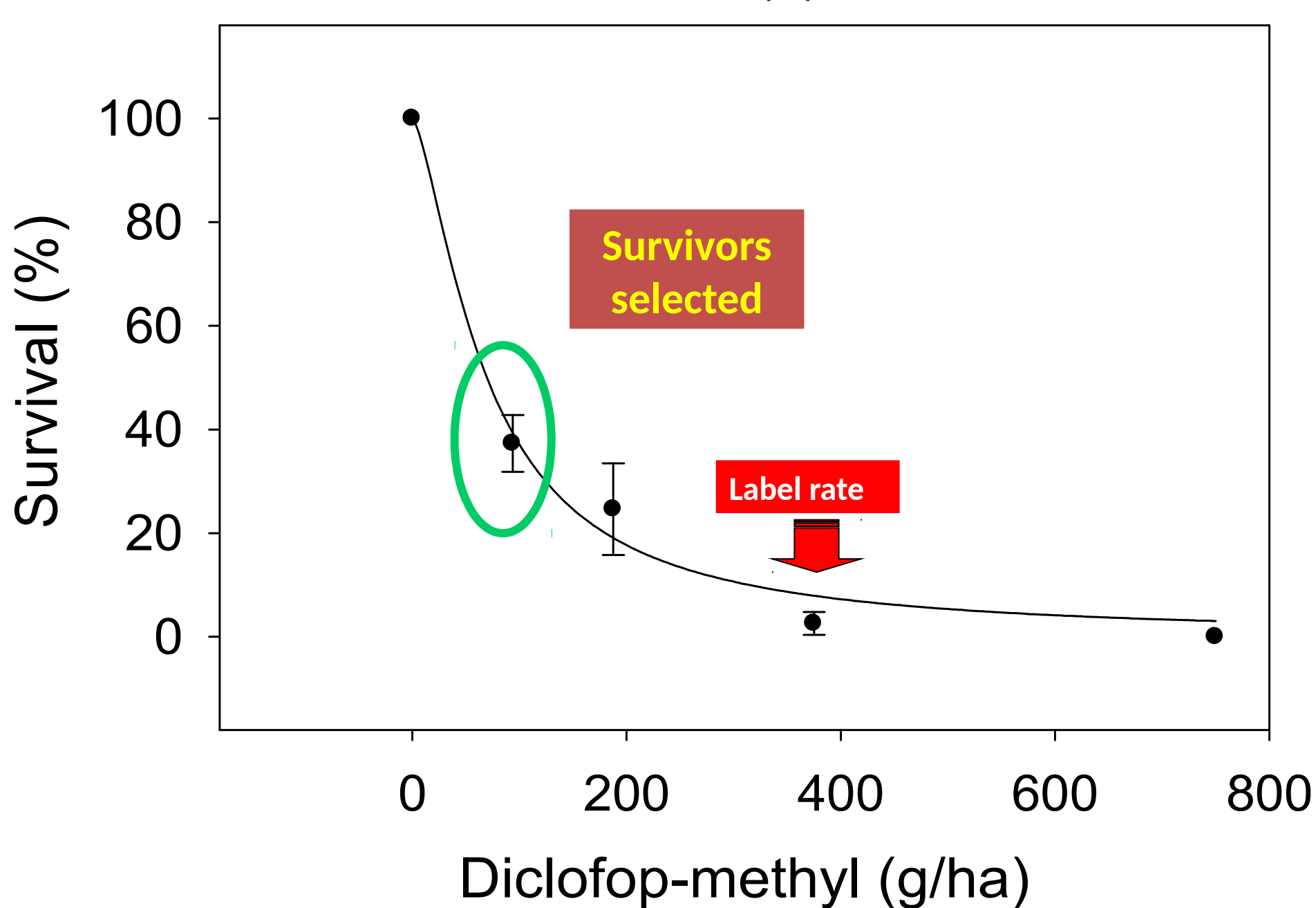
**Table 3.** Response to selection with low dose of diclofop-methyl in cross-pollinated *Lolium rigidum* versus self-pollinated *Avena fatua*. The LD<sub>50</sub> R/S (resistance index) is the calculated ratio of the estimated  $LD_{50}$  value of selected progeny and the  $LD_{50}$  of the unselected parental line

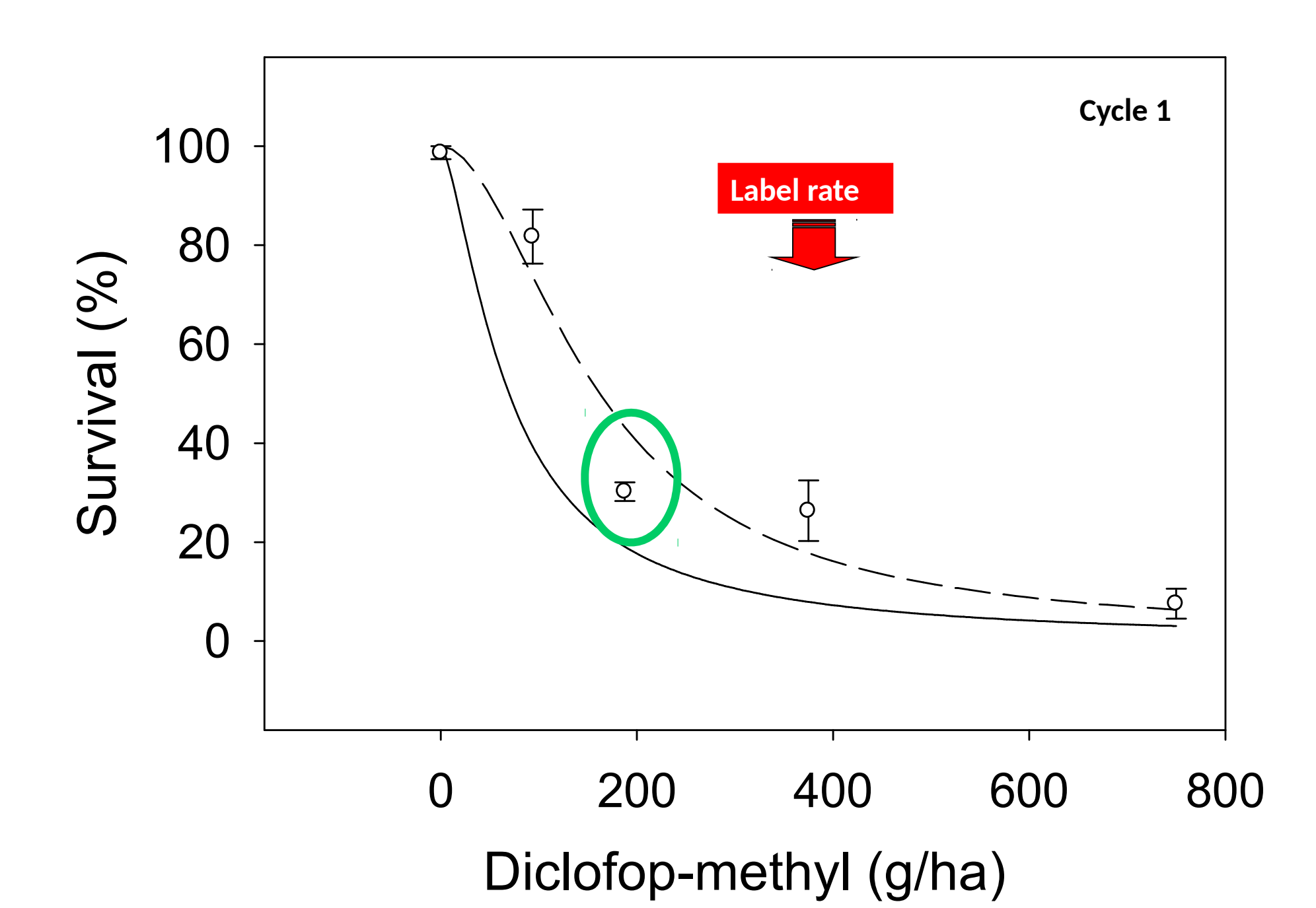
Reproductive mode	Genus	Herbicide selected agent	Selection dose (mean)	Progeny	LD <sub>50</sub>	LD <sub>50</sub> ratio selected/ unselected
Self-pollinated	Avena	Diclofop	Unselected	0	238	-
Self-pollinated	Avena	Diclofop	375	3 <sup>a</sup>	546	2.3
Cross-pollinated	Lolium	Diclofop	Unselected	0	61 <sup>c</sup>	-
Cross-pollinated	Lolium	Diclofop	325	3 <sup>b</sup>	2462 <sup>c</sup>	40

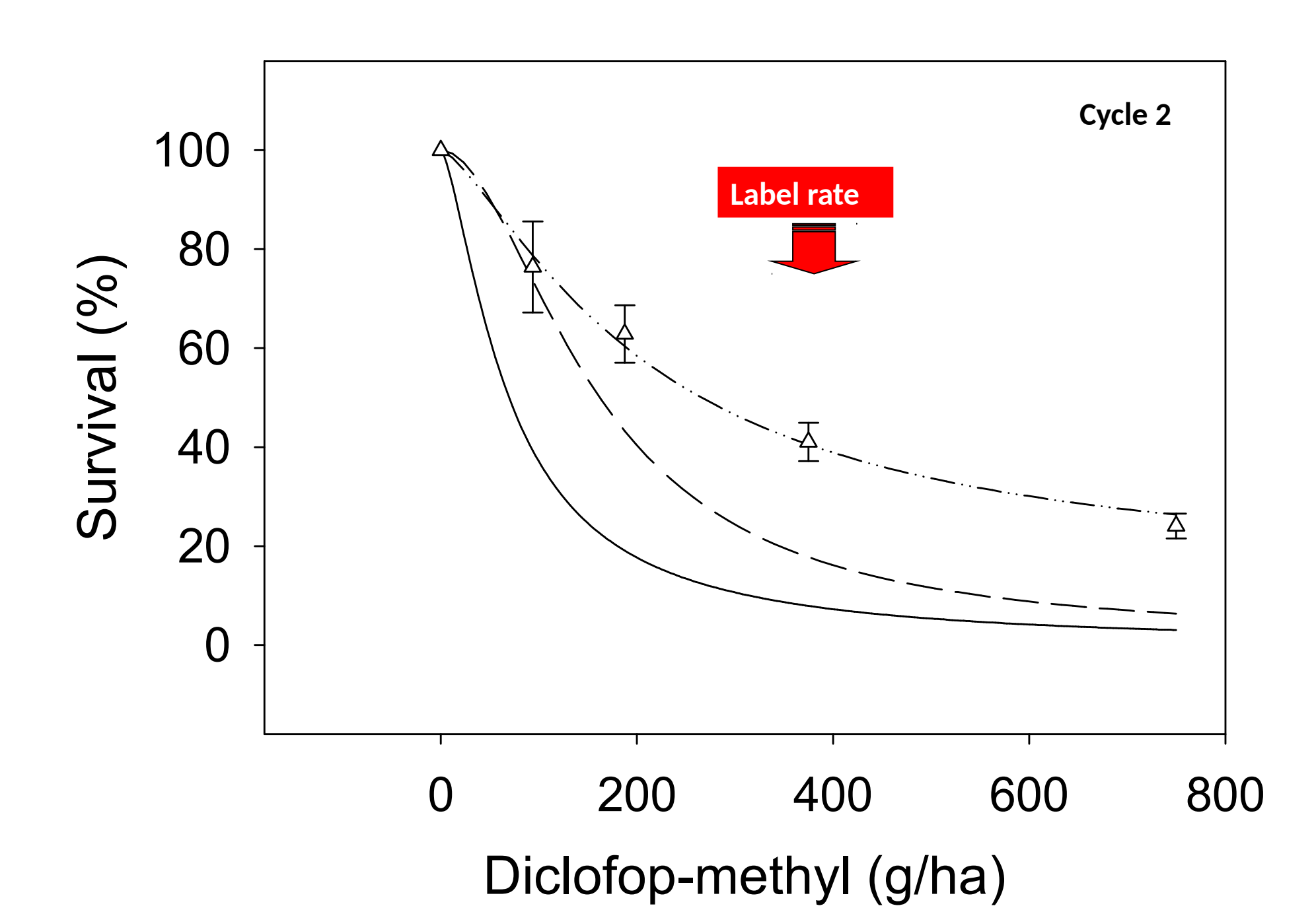
<sup>&</sup>lt;sup>a</sup> Progeny selected with three cycles of recurrent selection from the parental WA herbicide-susceptible A. fatua population, as detailed in Table 1. Herbicide selection occurred at 375 g diclofop ha<sup>-1</sup> as 0.66× the recommended label dose (labelled dose 600 g diclofop ha<sup>-1</sup>).

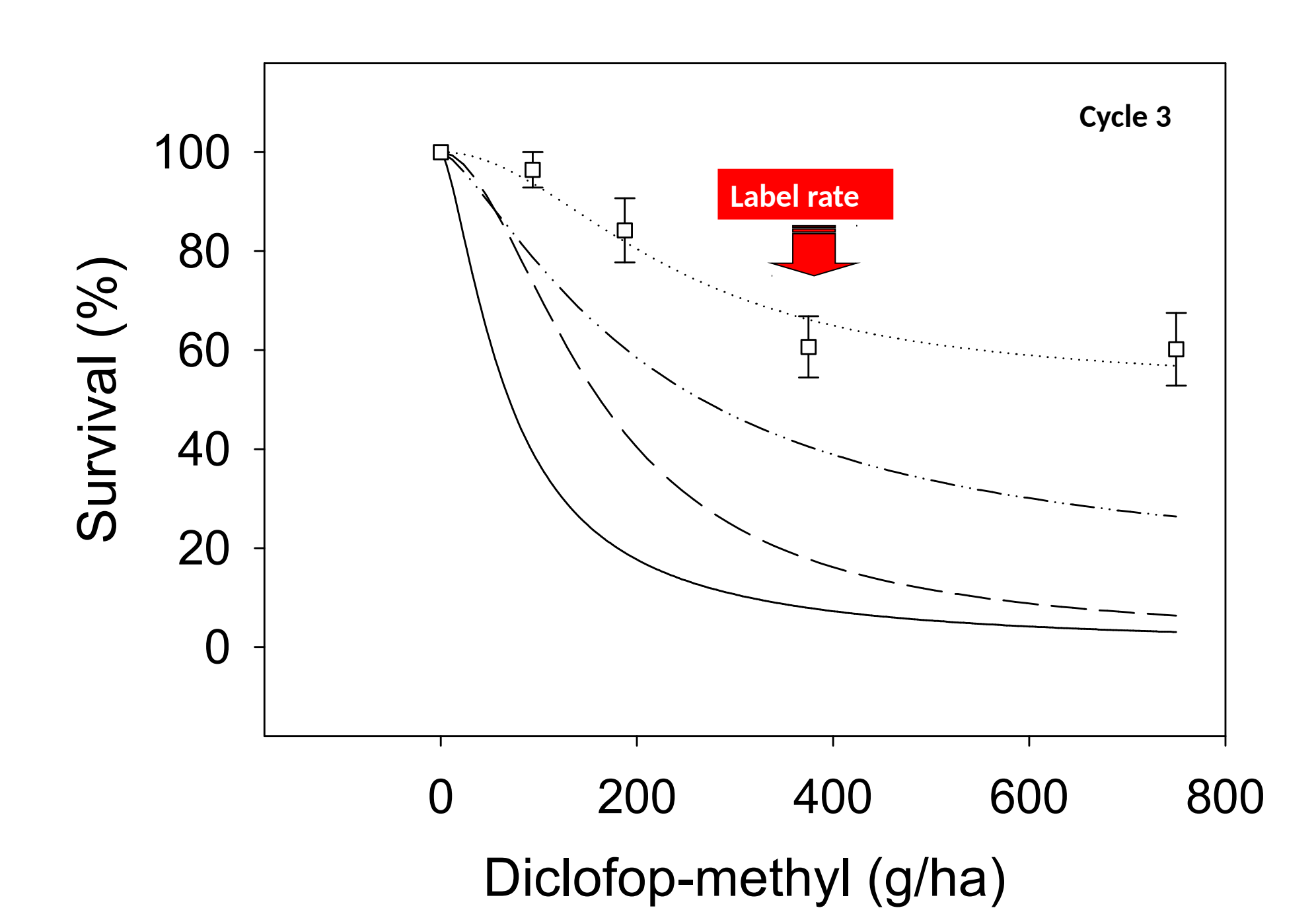
<sup>c</sup> Data reported by Neve and Powles. <sup>14</sup>

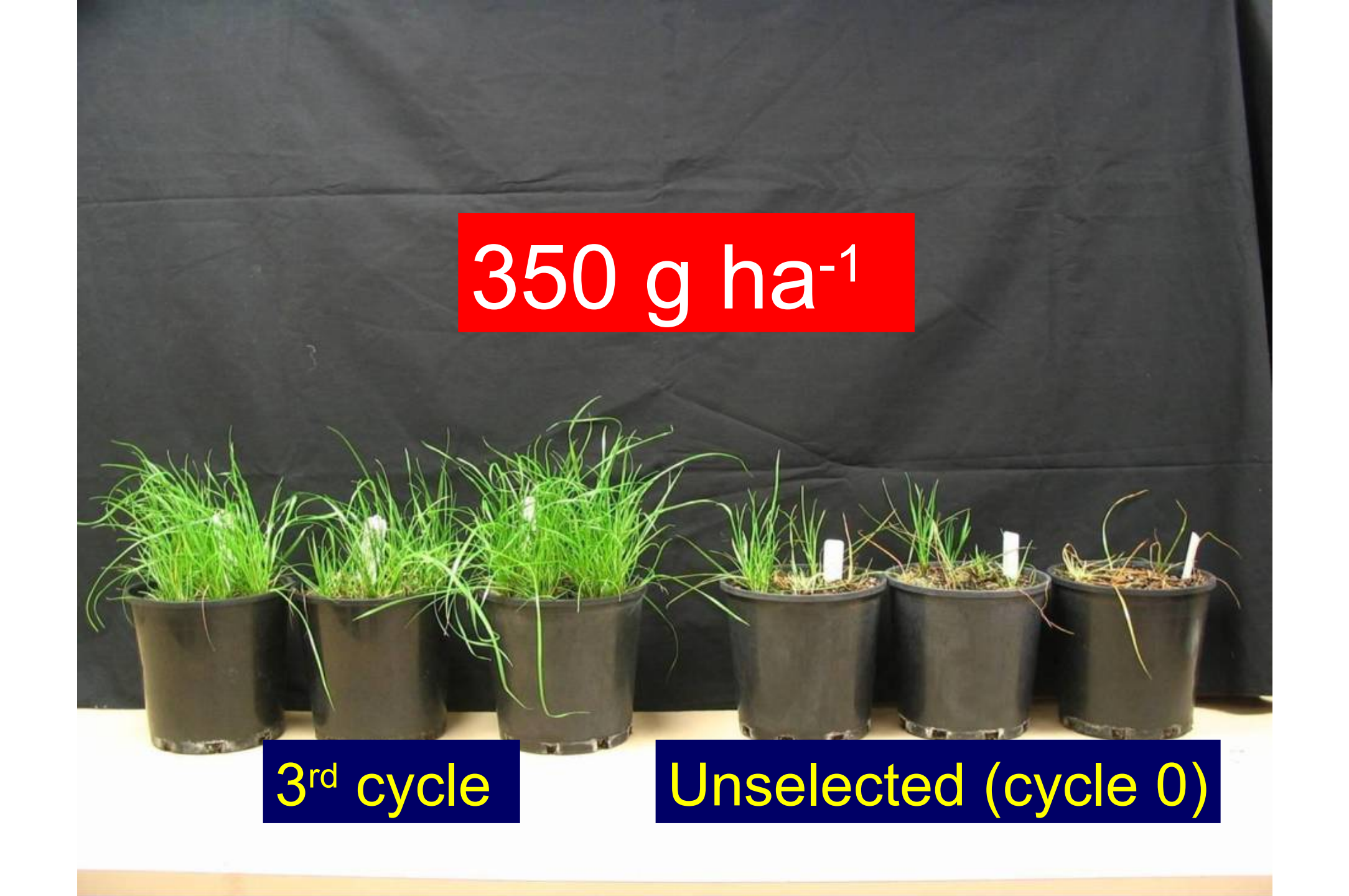
<sup>&</sup>lt;sup>b</sup> Progeny selected with three cycles of recurrent selection from the parental herbicide-susceptible *L. rigidum* population VLR1. Herbicide selection occurred at 37.5, 188 and 750 g diclofop ha<sup>-1</sup> as  $0.1 \times$ ,  $0.5 \times$  and  $2.0 \times$  the recommended label dose (labelled dose 375 g diclofop ha<sup>-1</sup>).<sup>14</sup>





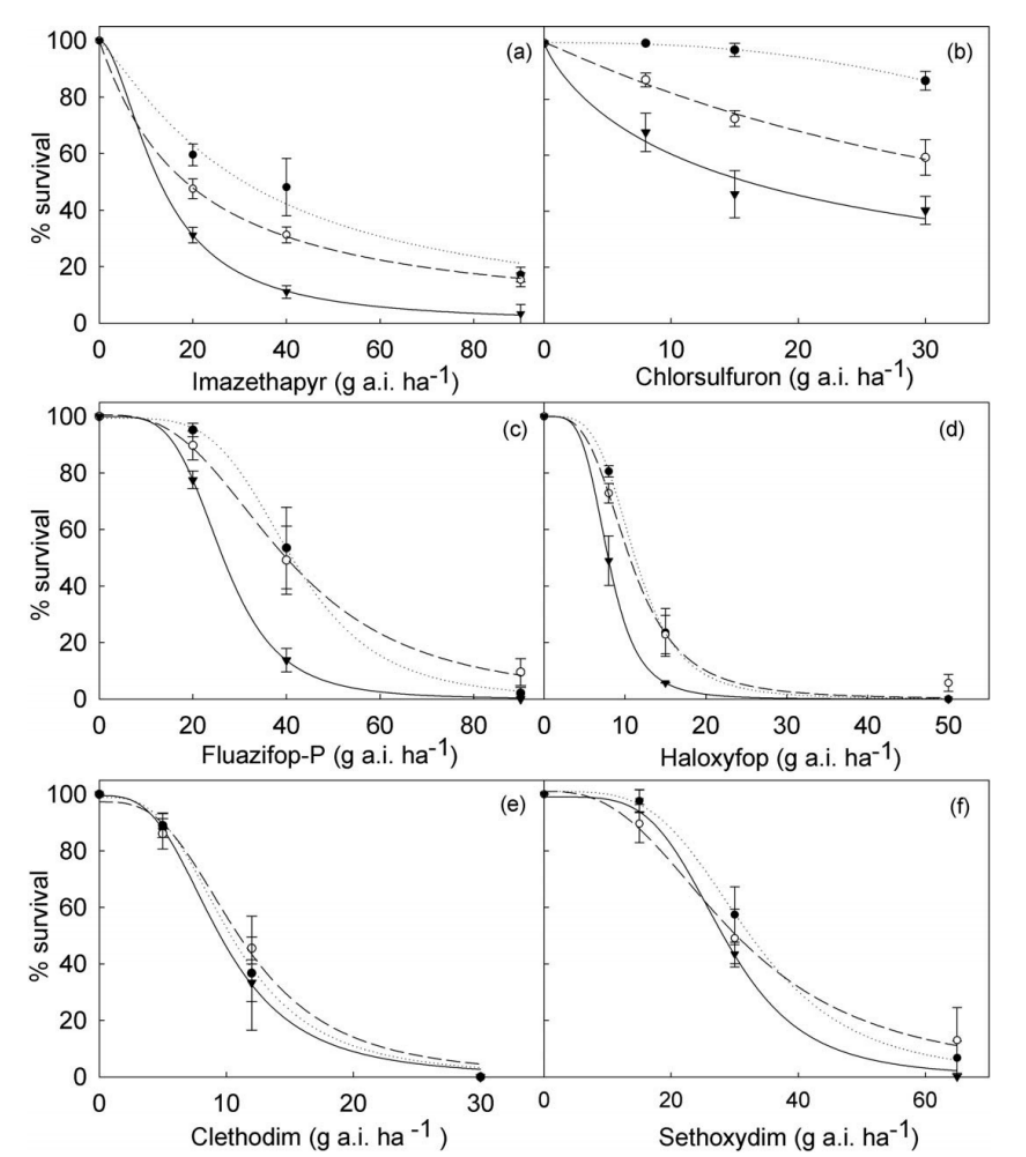








#### Rapid evolution of Herbicide Resistance by low dosage herbicides, Manalil et al. 2011



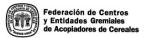






# Evolution of Herbicide Resistance by high and low doses of Pyroxsasulfone (Busi et al. 2012)

- No se registraron genes mayores de resistencia en evaluaciones realizadas en 100 millones de individuos y su progenie.
- La recurrente utilización de subdosis generó en pocas generaciones poblaciones resistentes además de resistencia cruzada con Chlorsulfuron, S Metolaclor y Diclofop metil.
- Debe enfatizarse el uso de pyroxasulfone en las dosis recomendadas para disminuir la posibilidad de evolución de resistencia mediante el uso de subdosis

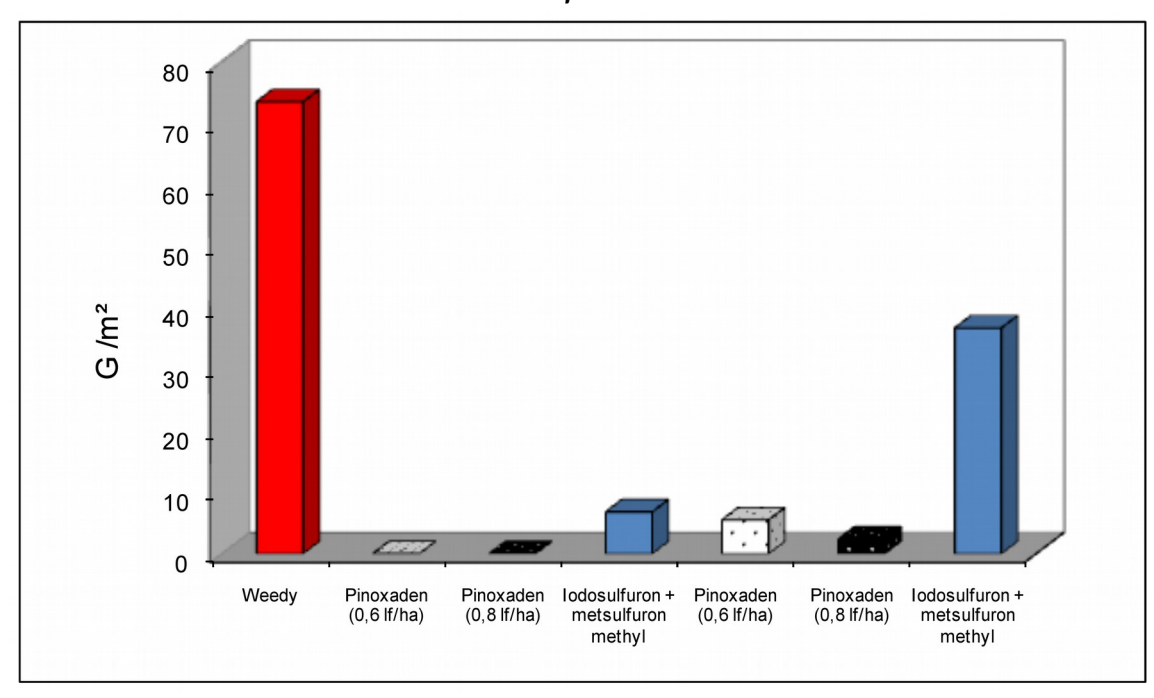




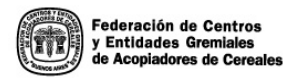


# Efecto del momento de aplicación de herbicidas en *Avena fatua* (Z14 y Z23)





El impacto del momento de aplicación fue menor en pinoxadén

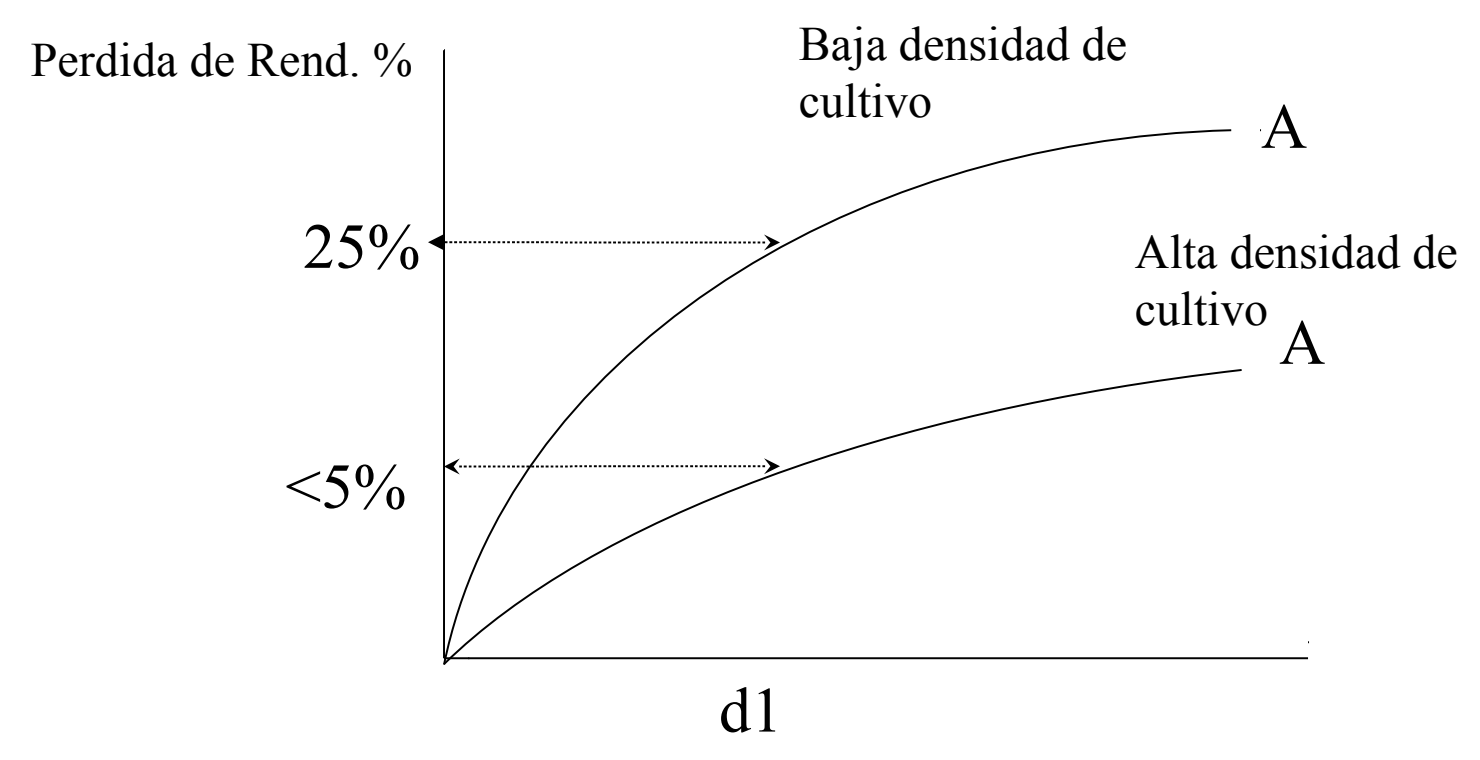


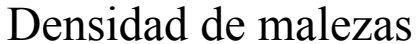




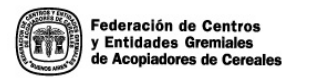
#### Ajustes en la densidad de siembra

Modelo de cuantificación de pérdidas por malezas





Adaptado de Cousens 1984, Scursoni y Satorre, 2005

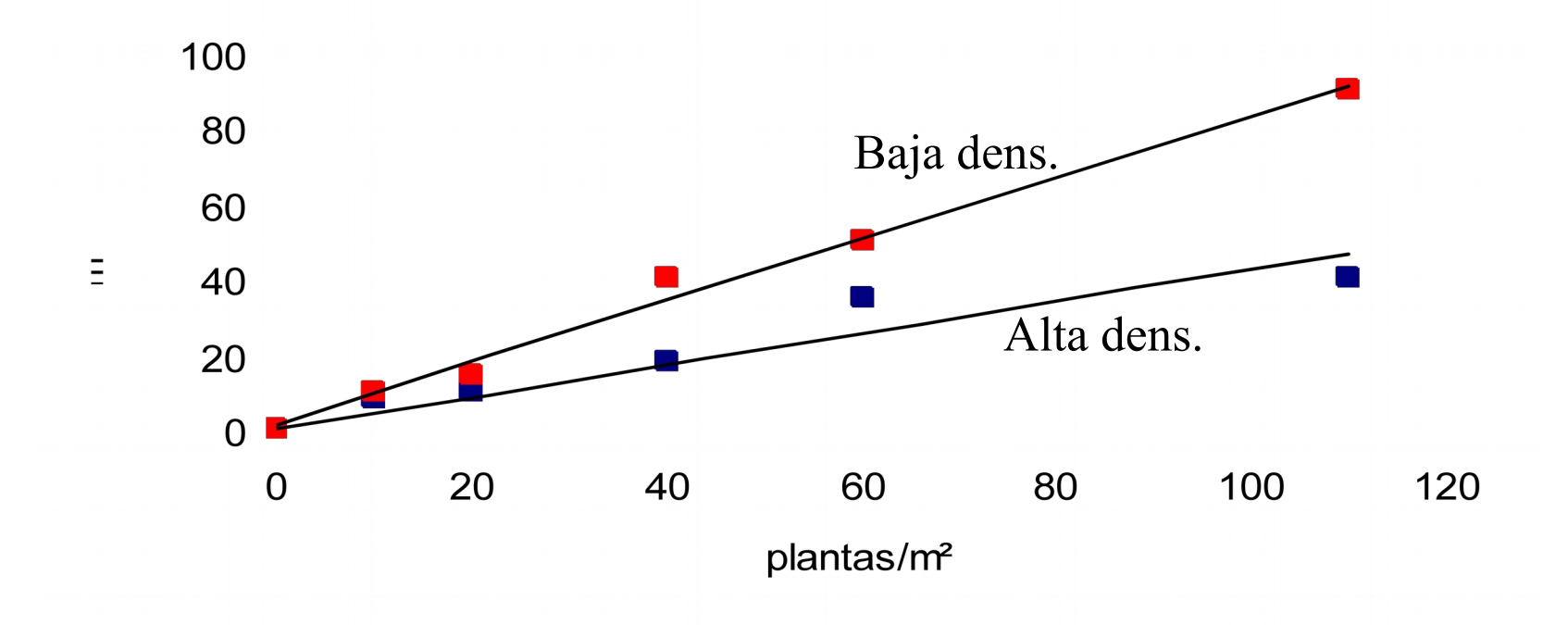




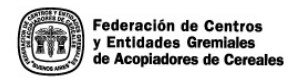


## Ajustes en la densidad de siembra

Efecto de la densidad del cultivo de cebada en el crecimiento de la A. fatua



Scursoni y Satorre, 2005







### Control de Semillas en Cosecha:

Michael Walsh, Peter Newman, and Stephen Powles (2013)

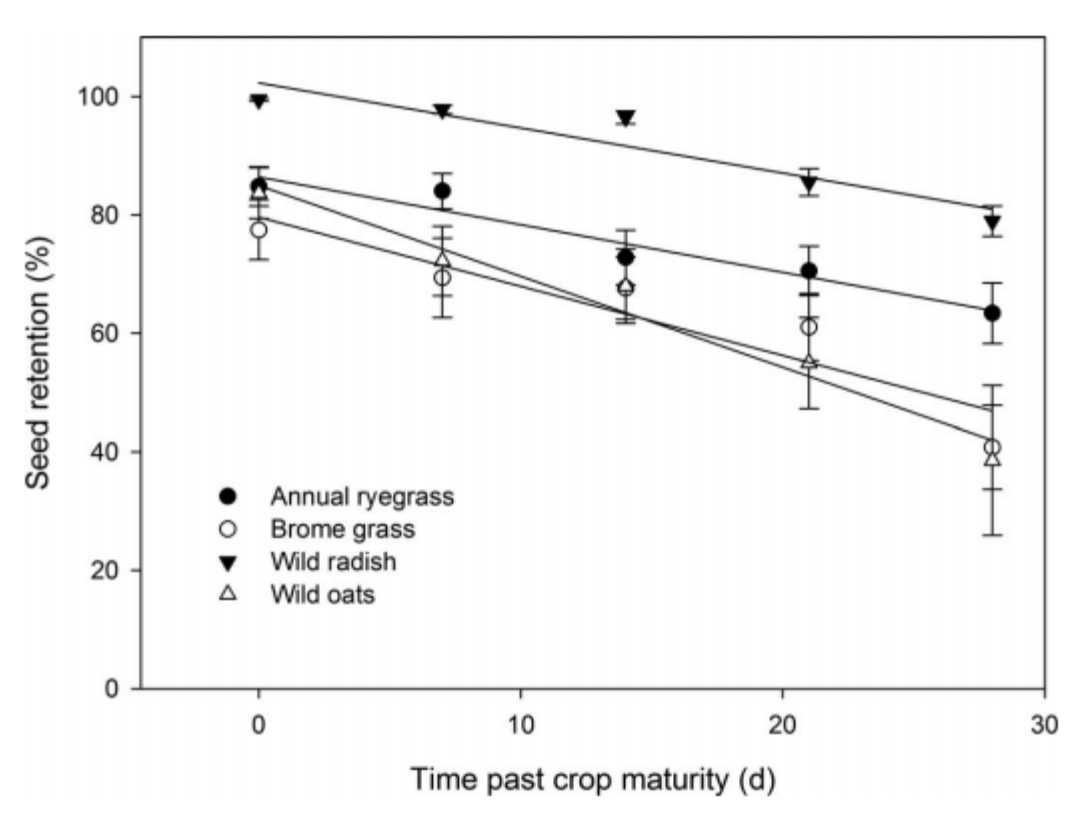
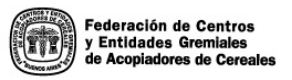


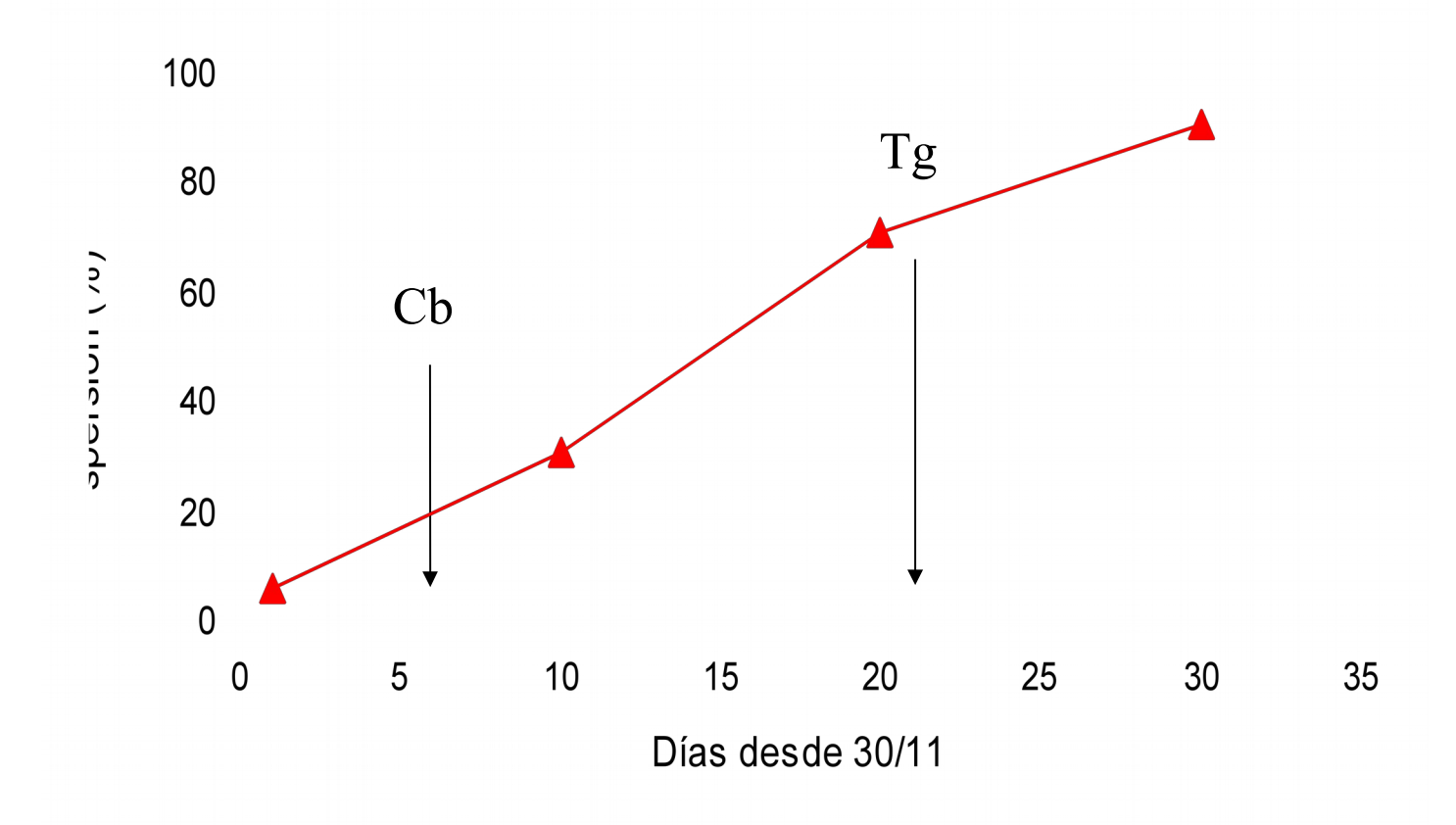
Figure 2. Seed retention above harvest cutting height for four species averaged across nine sites at wheat crop maturity and at 7 d intervals for 28 d. Lines represent the fitted linear model [1], equation parameters and Adjusted R<sup>2</sup> values for each line are presented in Table 3. Capped bars on symbols represent standard errors around the mean of three replicates and nine sites.







Evolución temporal de la dispersión de semillas de *A. fatua (Scursoni et al. 2000)* 



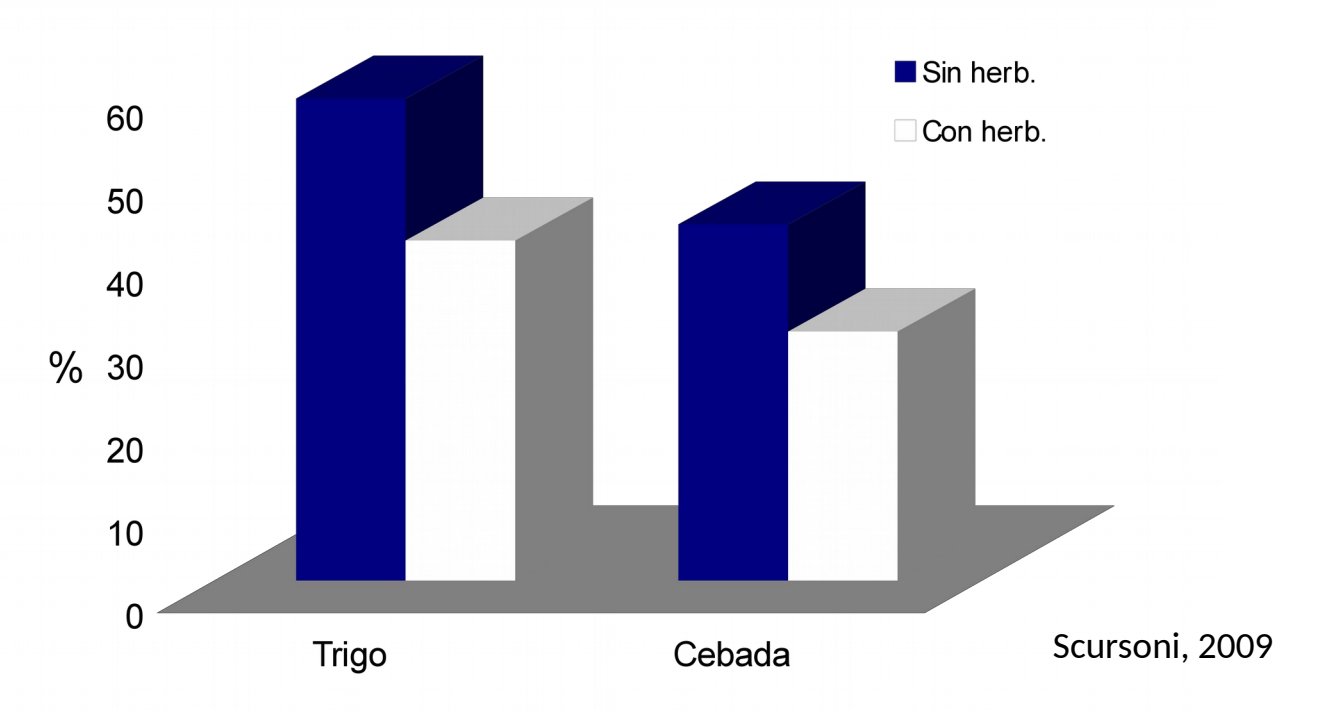




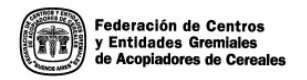


Cómo afecta la especie cultivada y la aplicación de herbicidas la dispersión de semillas?

Dispersión precosecha (%) de semillas de A. *fatua* en trigo y cebada con y sin herbicida



En cultivos de trigo se dispersan más semillas antes de la cosecha que en cultivos de cebada







#### Control de Semillas en Cosecha:

Michael Walsh, Peter Newman, and Stephen Powles (2013)

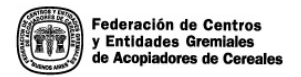




Figure 4. First commercially available Harrington Seed Destructor (Photo. courtesy de bruin engineering)

### Aplicación de herbicidas en madurez

- \*Reducción de fecundiad
- \*Reducción de viabilidad





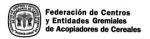




Julio Scursoni Elba de la Fuente Betina Kruk Alejandra Duarte Vera

Fernando Oreja

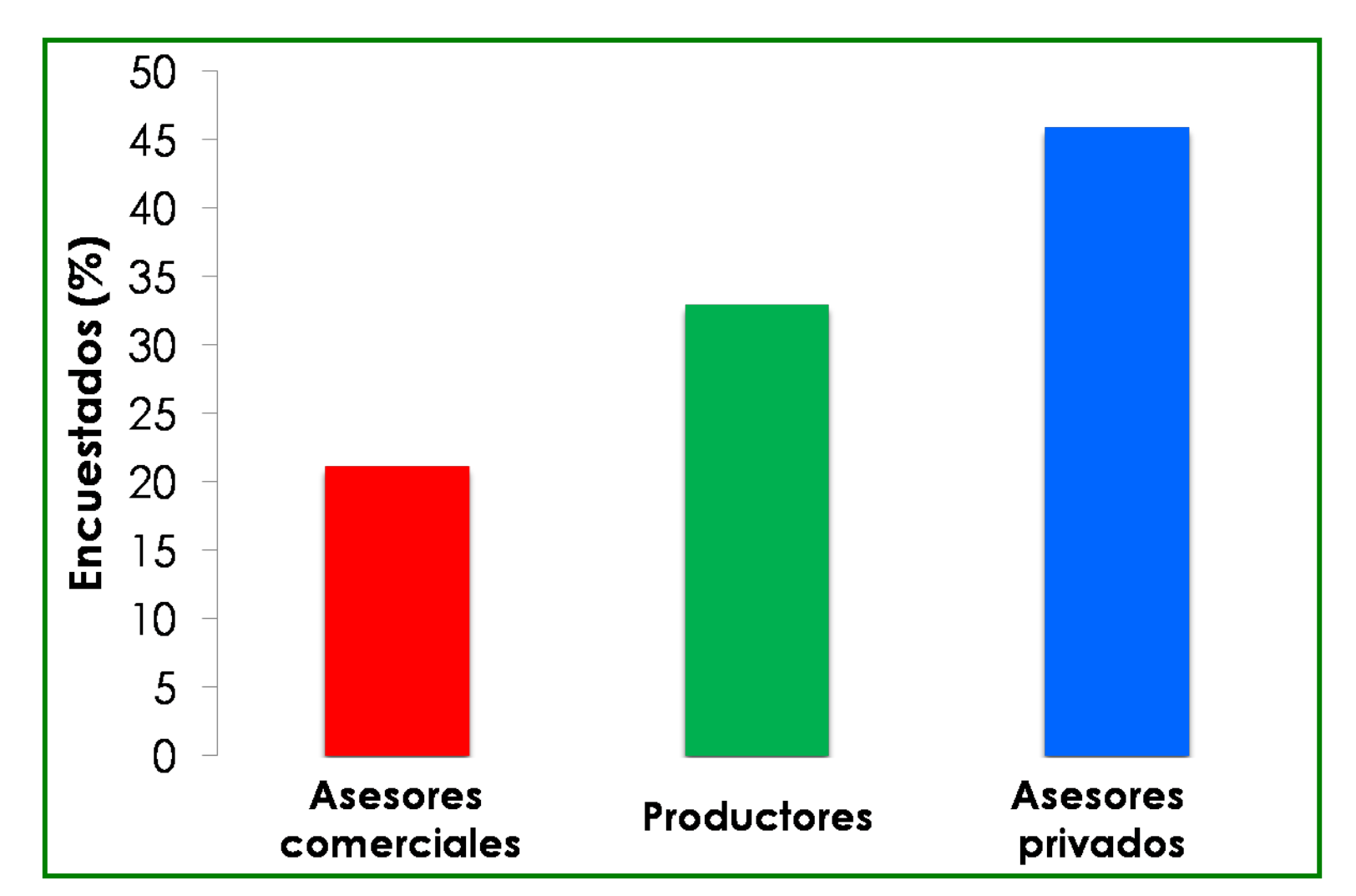
Facultad de Agronomía, Universidad de Buenos Aires, Argentina







## Universo de encuestados (85)

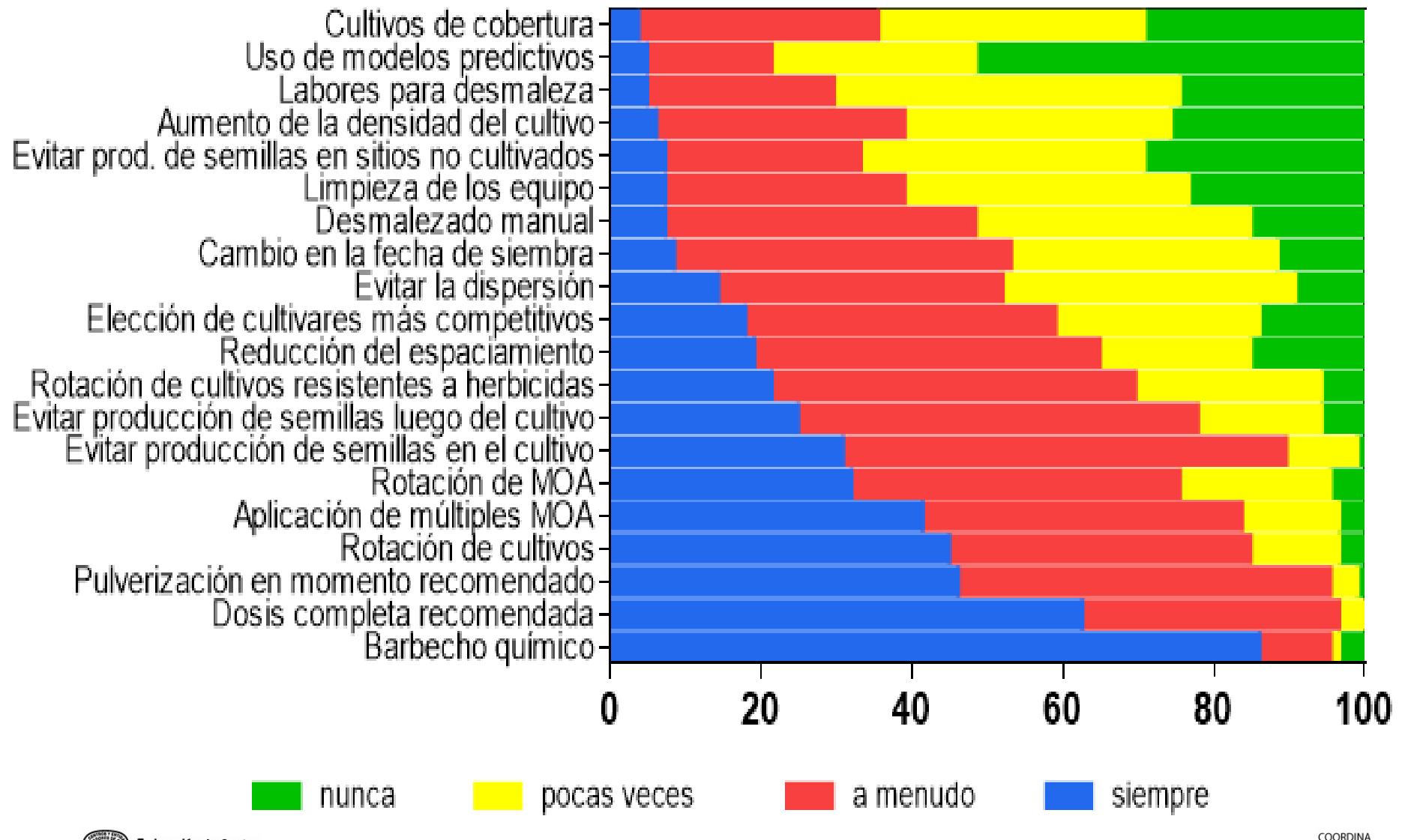


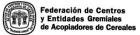






## Adopción de prácticas de manejo según encuestados

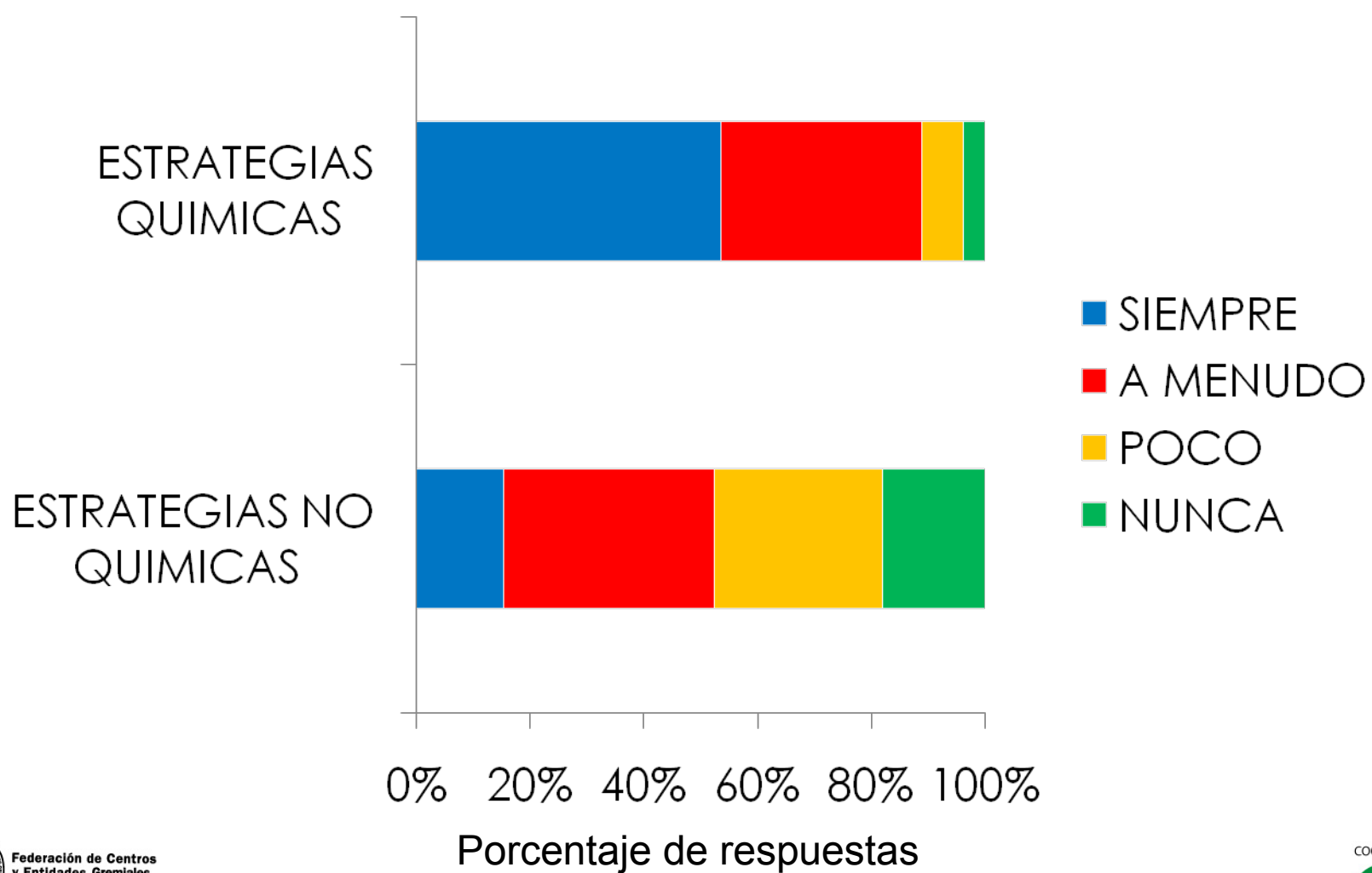


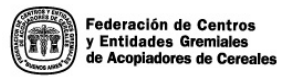






## Síntesis de las encuestas







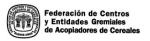


## **CONCLUSIONES y REFLEXIONES**

Es posible **reducir la evolución** de biotipos resistentes. Para lograrlo habrá que adoptar estrategias de manejo sustentable, a nivel regional

Podría considerarse un sistema certificado de **estímulo** a la producción sustentable en general y en el manejo de la resistencia en particular

Es necesario la labor integrada de sectores **productivos**, **legislativos**, **técnicos**, **científicos y comerciales** sosteniendo como concepto en común la contribución al manejo sustentable de los recursos

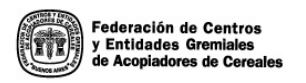






### **CONCLUSIONES**

- \*Las prácticas relacionadas al uso de herbicidas muestran el **máximo nivel de adopción.**
- \*Las prácticas **no químicas**, pese a su bajo costo y alta efectividad, **son escasamente utilizadas**.
- •Estos resultados generan el **desafío** de **incrementar la transferencia de conocimiento** hacia asesores y productores, promoviendo el **uso de prácticas no químicas** que complementan y contribuyen a la eficacia del uso de herbicidas.







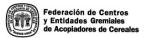
# ¿Por qué no Manejo?

Esperanza Nuevo herbicida





Economía







Plazo de contrato

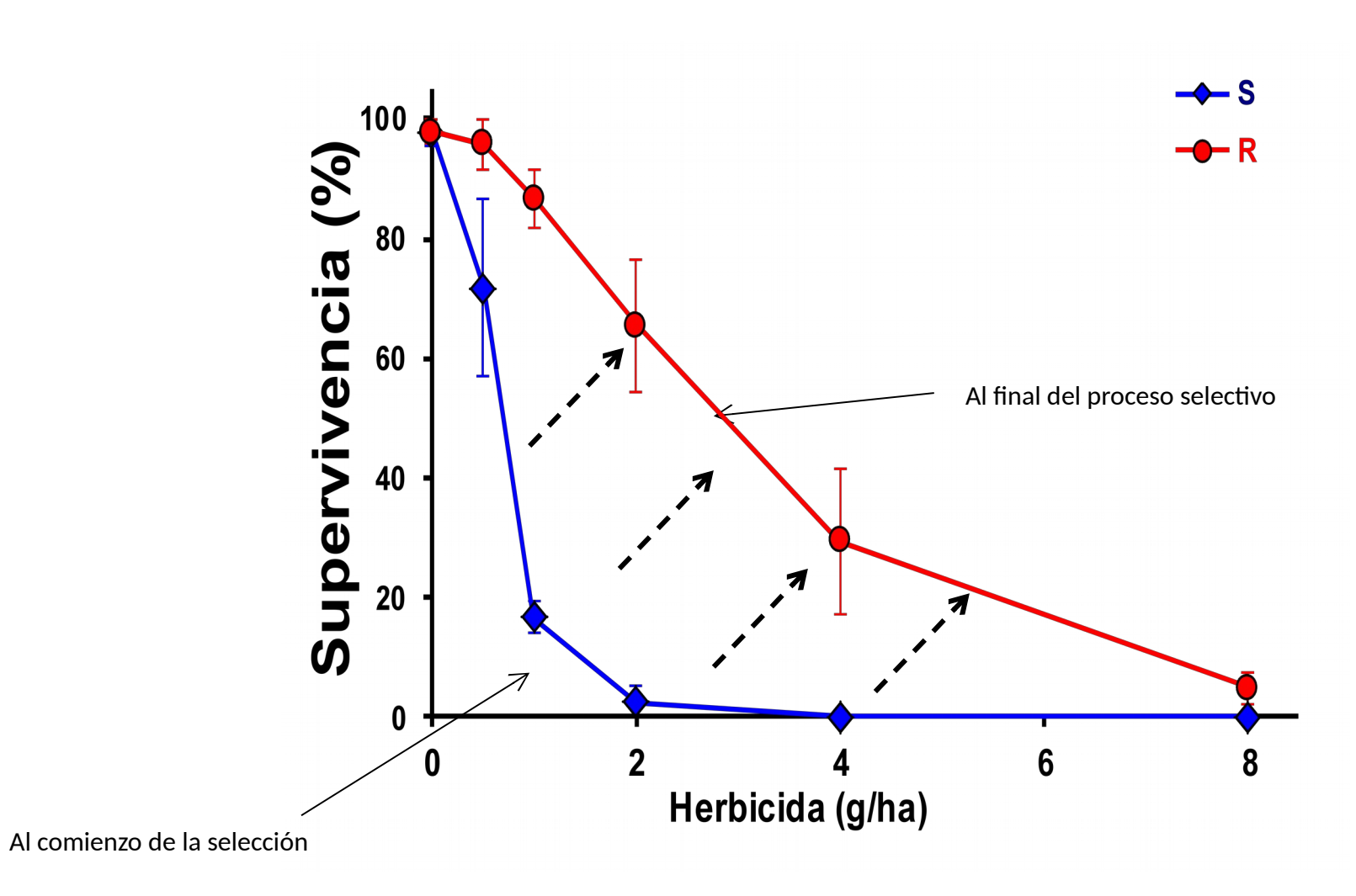
Desconocimiento

Muchas Gracias!!!!!
Julio Scursoni
FAUBA

scursoni@agro.uba.ar

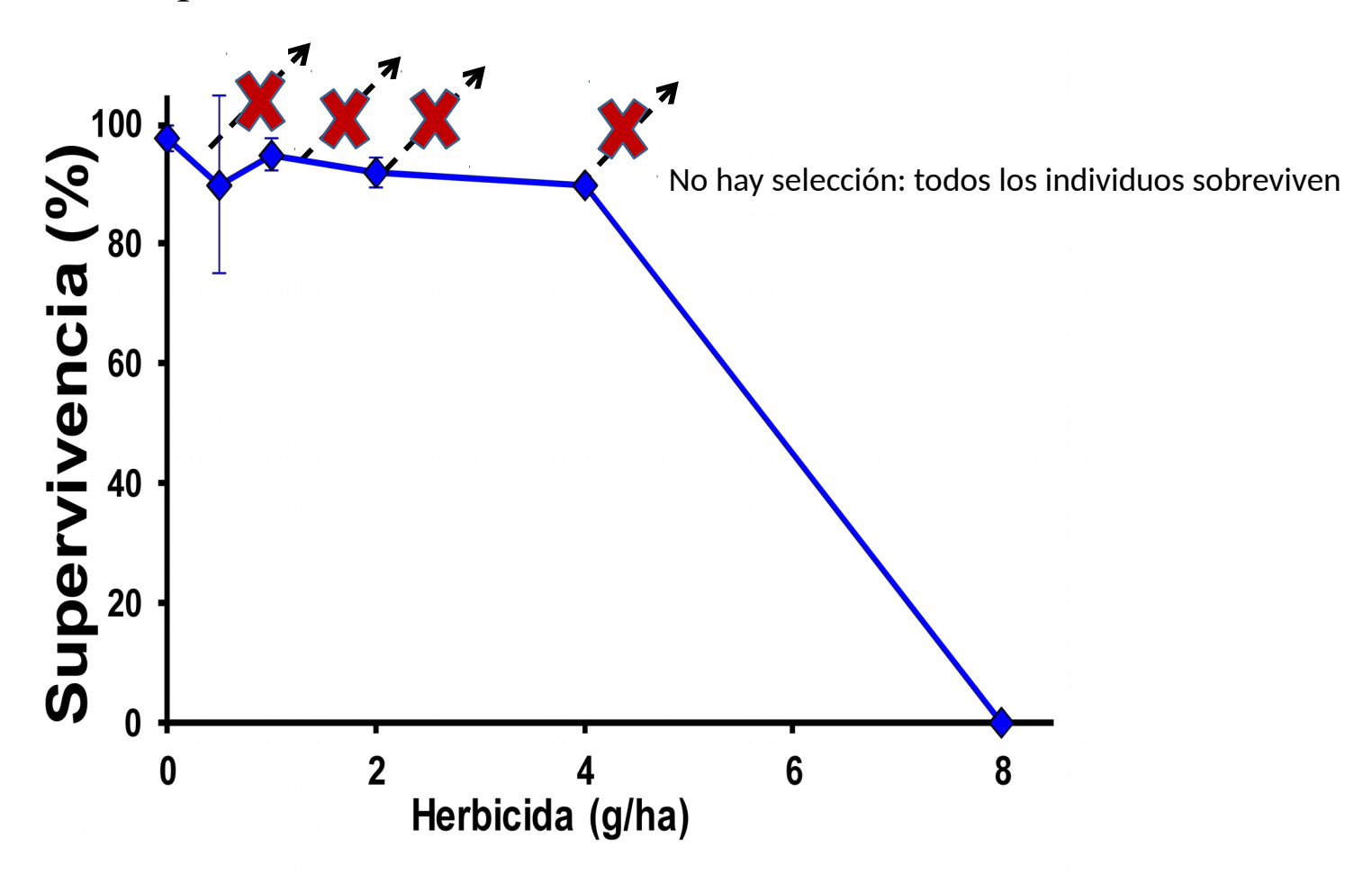


## Definición de resistencia



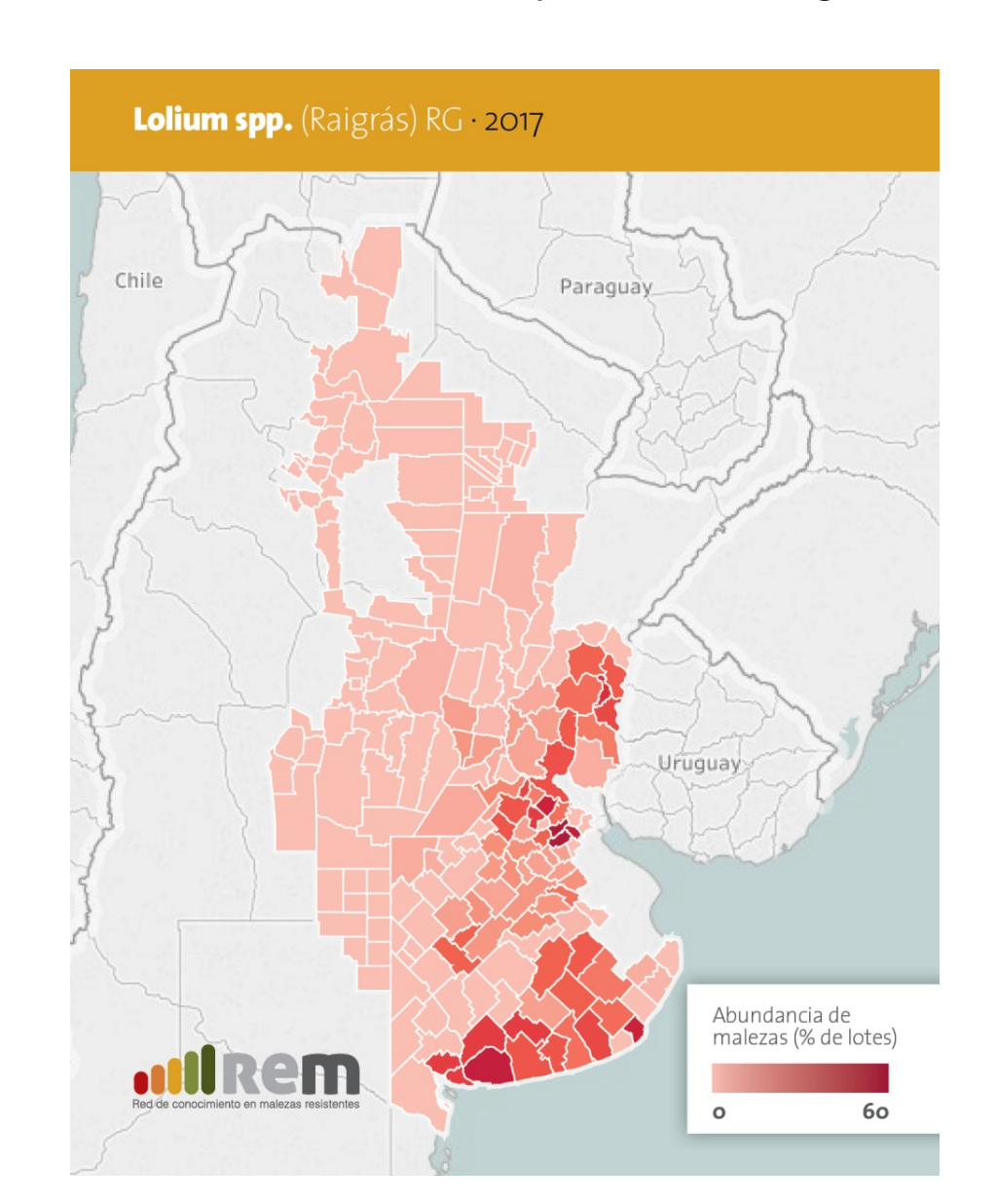
## Definición de tolerancia

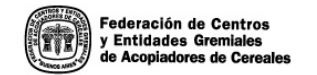
Es la capacidad natural o innata de una especie de maleza de sobrevivir y reproducirse a la acción fitotóxica de un herbicida





### Abundancia de *Lolium sp.* resistente a glifosato



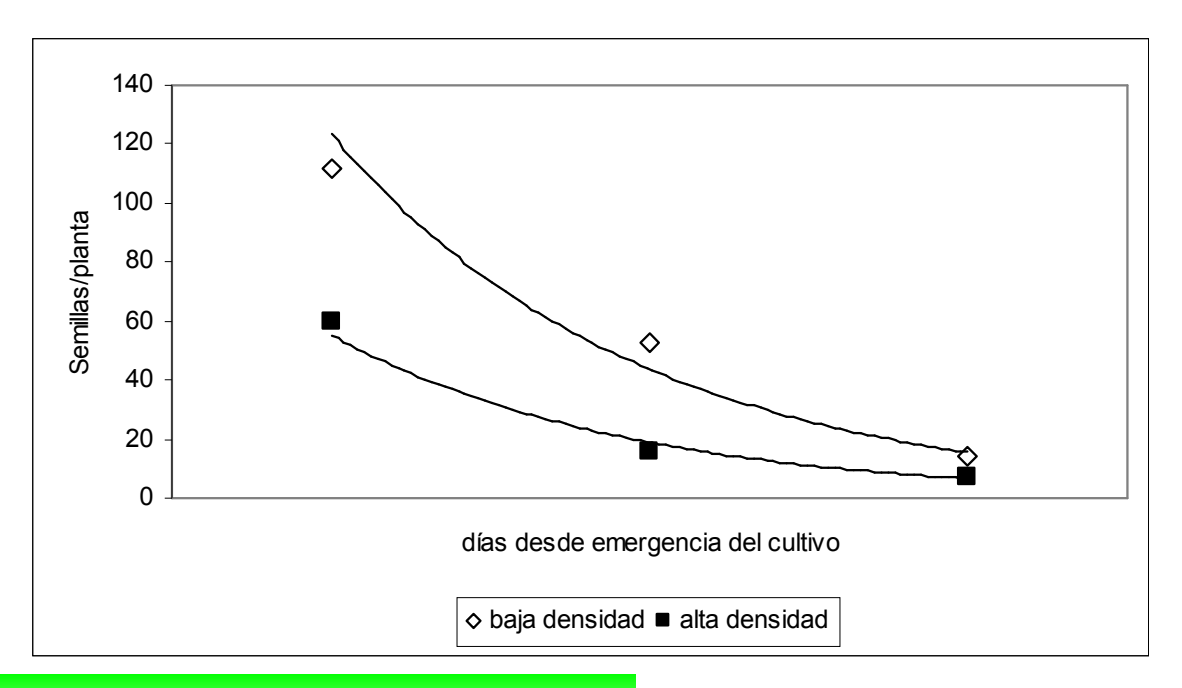




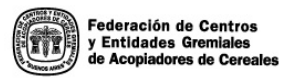


# Cómo afecta el aumento de densidad del cultivo la fecundidad de individuos de A. fatua?

# Fecundidad de individuos de *A. fatua* de diferentes cohortes en dos densidades de cultivo



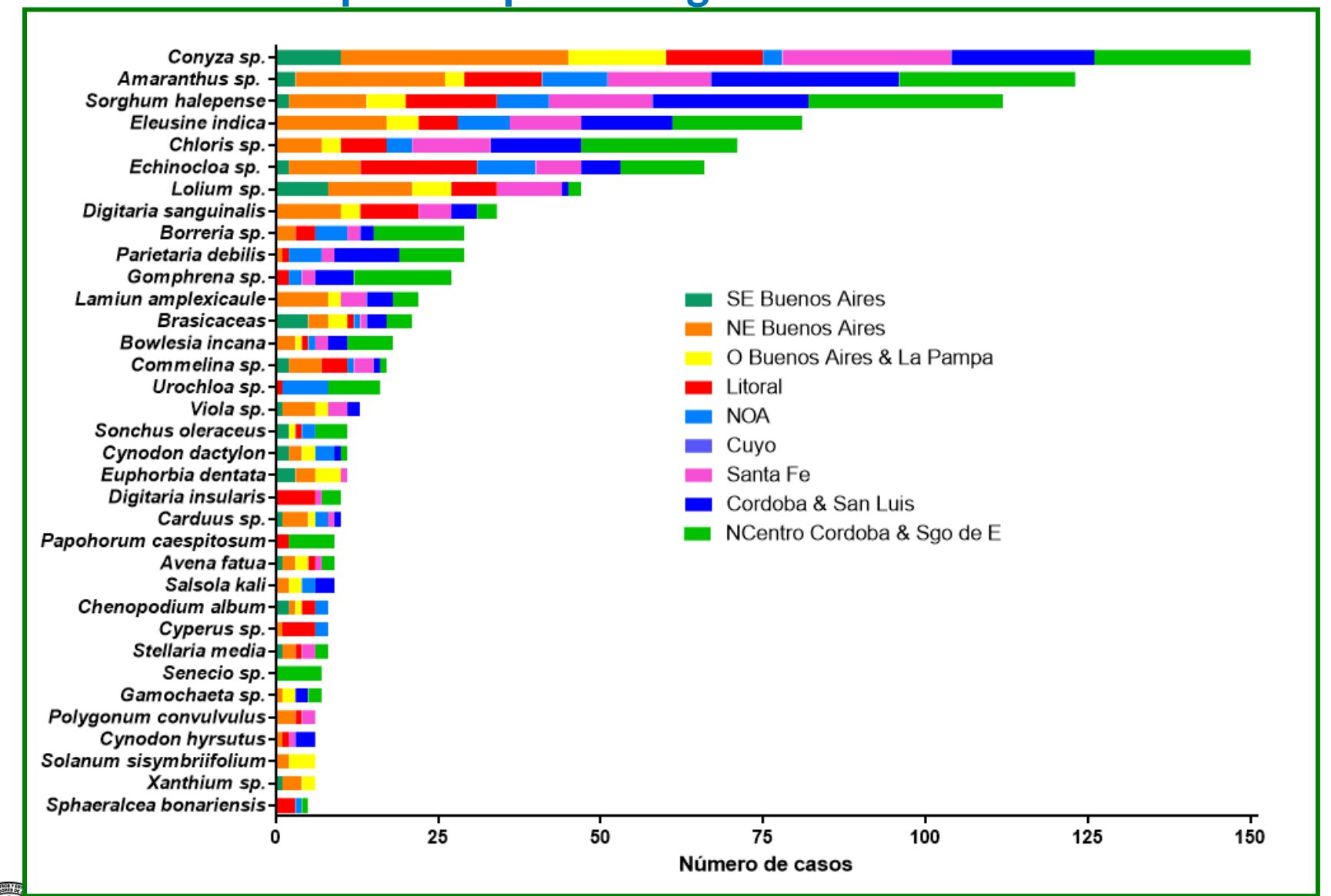
Incrementos de densidad de siembra reducen la fecundidad de Avena fatua en aproximadamente 50% Scursoni, 2000







## Principales especies según encuestados



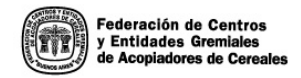


# Incidencia de aplicaciones en precosecha en fecundidad y viabilidad (Prashant Jha and Jason K. Norsworthy . 2012

Table 2. Effect of late-season herbicides applied at first sign of inflorescence on seed production, 100-seed weight, and seed viability, and progeny cumulative emergence of two glyphosate-resistant Palmer amaranth biotypes from Arkansas.<sup>a,b</sup>

			Seed reduction					
Herbicide <sup>c</sup>	Rate	LC		МС		100-seed weight <sup>b</sup>	Seed viability <sup>b</sup>	Cumulative emergence <sup>b</sup>
	$\rm g \ ha^{-1}$		— % of no	ntreated ——		mg	%	% of nontreated
Glyphosate	870	62 bc	В	81 b	A	29 bc	61 b	14 bc
Glufosinate	820	87 a	A	94 a	A	25 d	46 c	3 c
2,4-D	1,060	84 ab	A	95 a	A	26 cd	58 b	23 b
Dicamba	280	75 ab	A	95 a	A	31 ab	52 bc	22 b
Pyrithiobac	70	47 c	В	76 b	A	34 a	45 c	58 a
Nontreated		_				34 a	97 a	_

<sup>&</sup>lt;sup>a</sup> Abbreviations: DAT, days after treatment; LC, Lincoln County, AR; MC, Mississippi County, AR.





<sup>&</sup>lt;sup>b</sup> For seed reduction, lowercase letters compare means in a column within each biotype, and uppercase letters compare the two biotype means within each herbicide. For seed weight, viability, and emergence, lowercase letters compare means in a column.

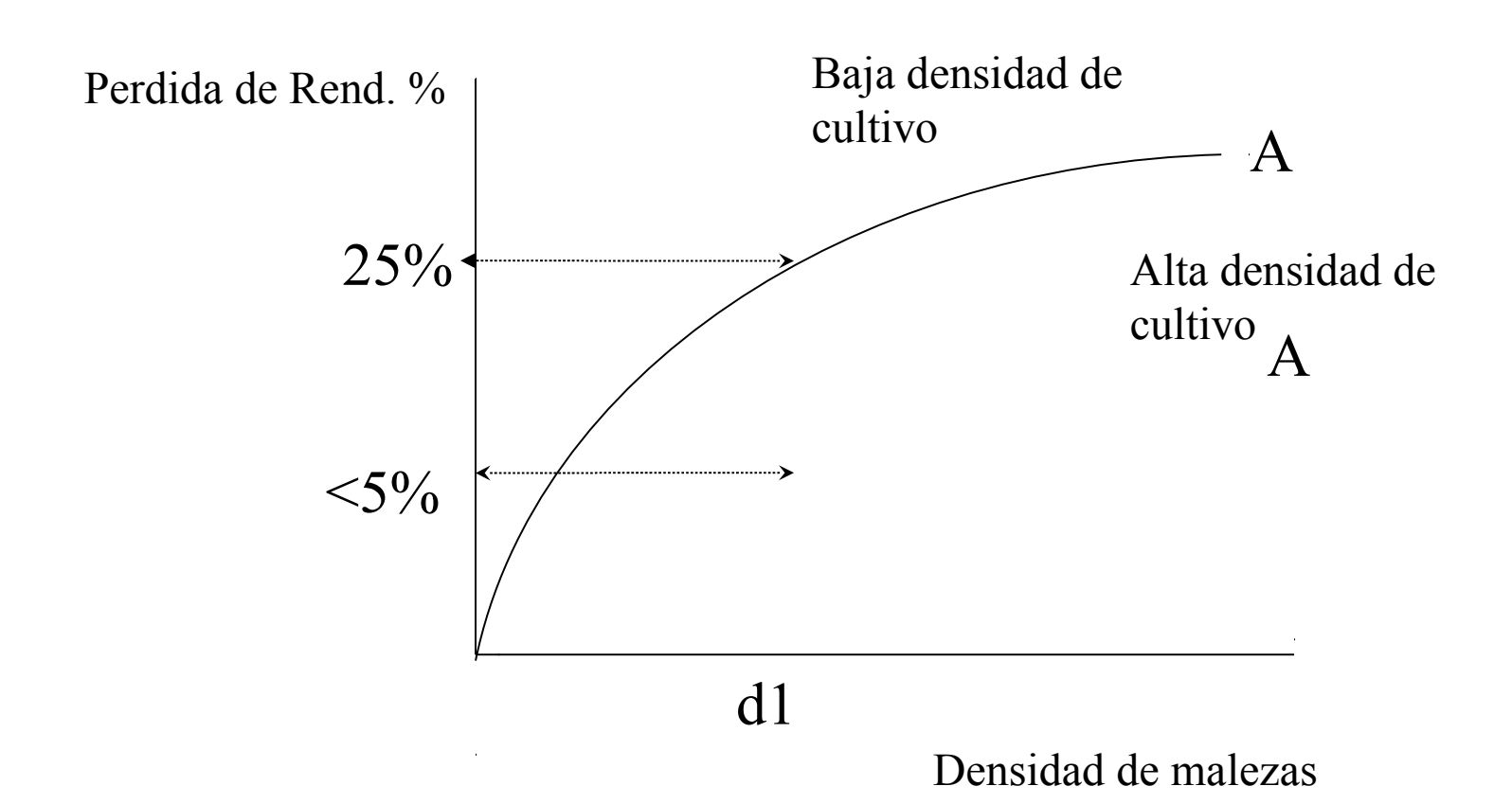
<sup>&</sup>lt;sup>c</sup> 2,4-D, dicamba, and pyrithiobac were applied with 0.25% v/v nonionic surfactant.

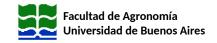
<sup>&</sup>lt;sup>d</sup> Averaged over biotypes because of nonsignificant higher-order interactions.



## Manejo de malezas en cereales de invierno

Modelo de cuantificación de pérdidas por malezas



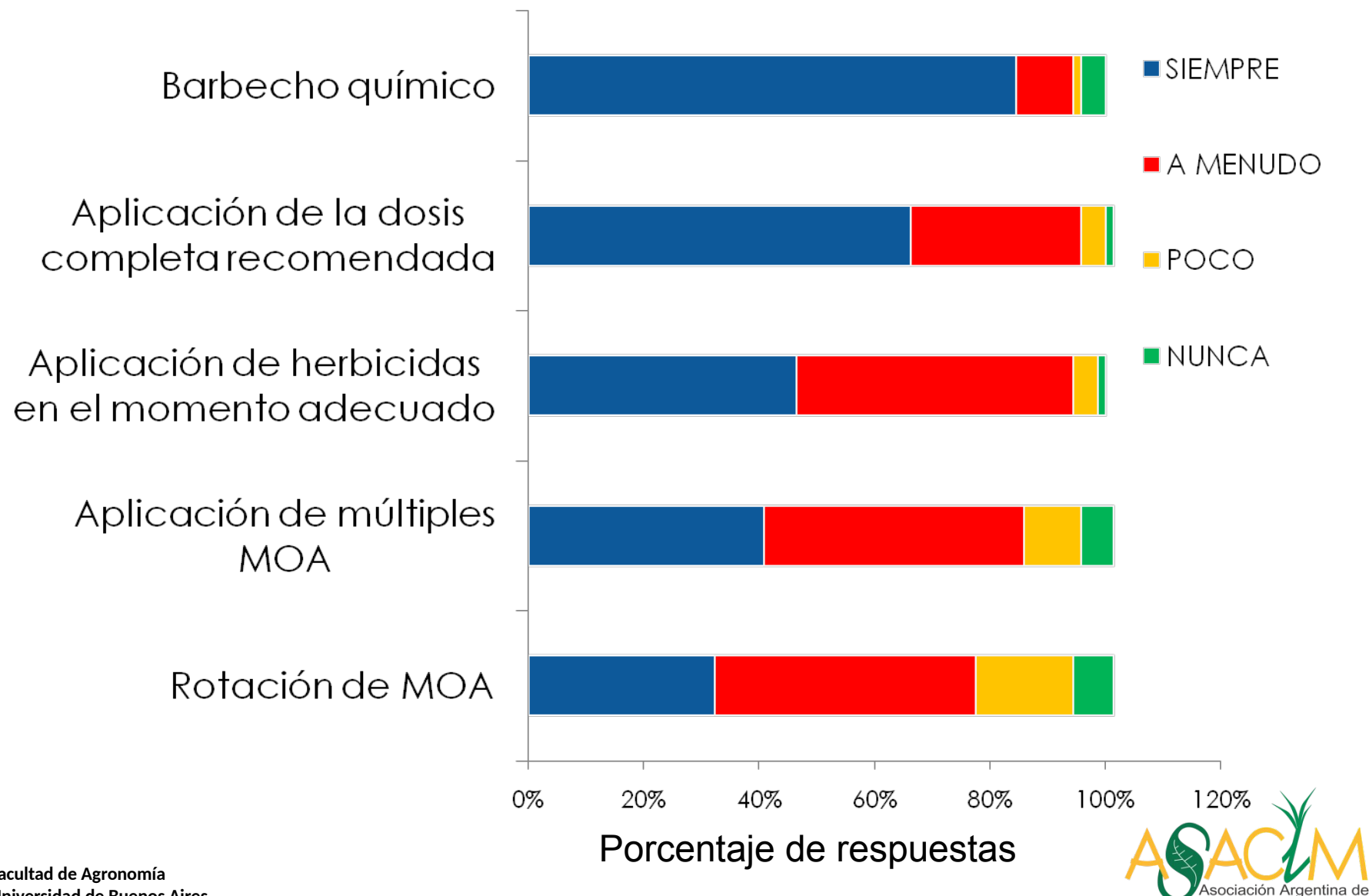


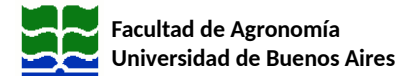


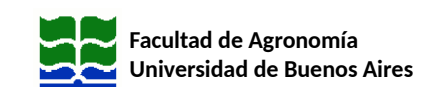




## Estrategias químicas



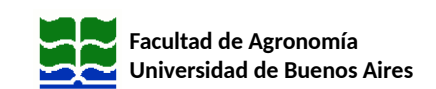




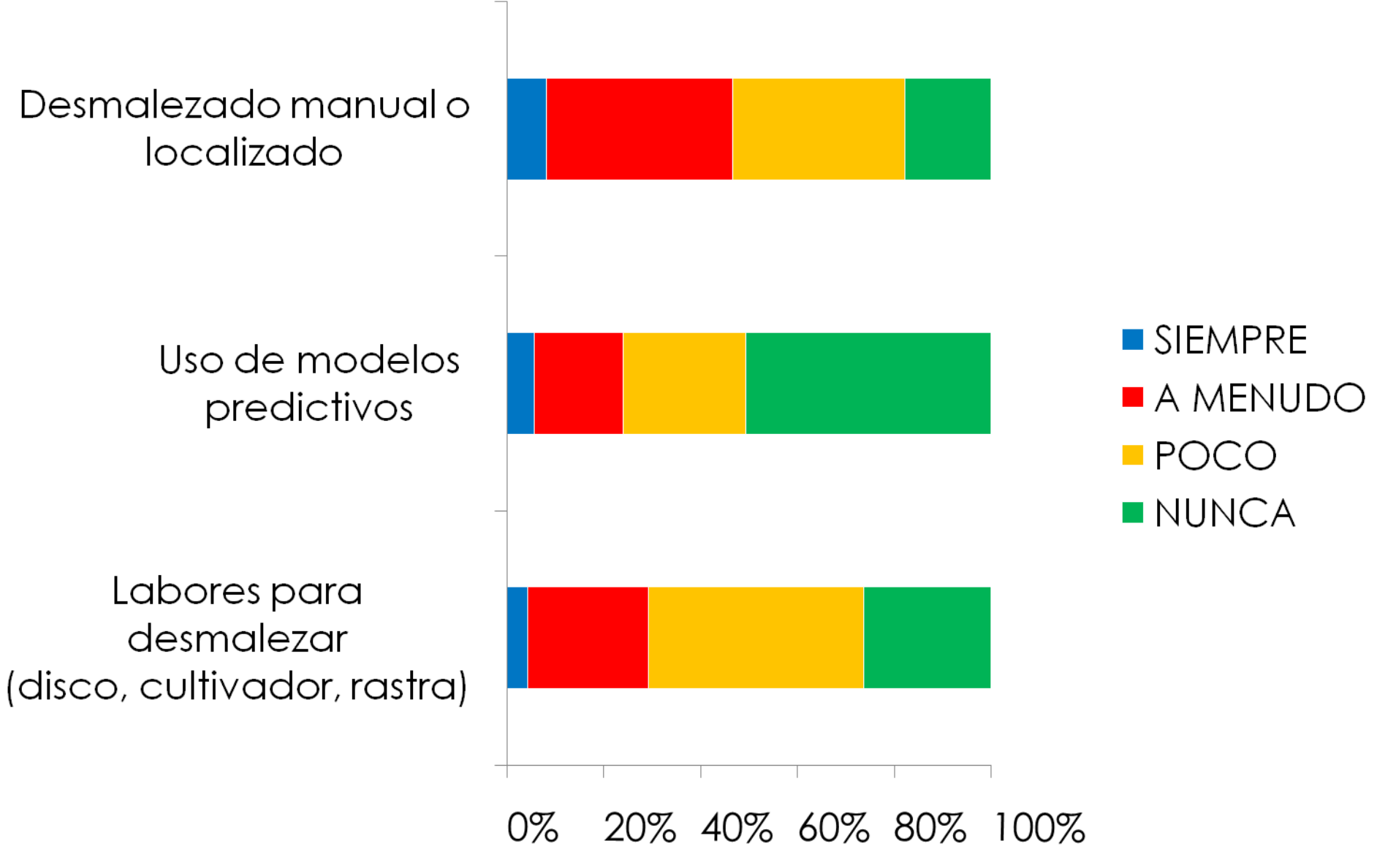


# Estrategias no químicas

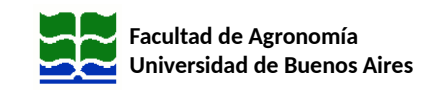




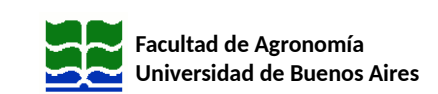
#### Fetratoniae no químicae



Porcentaje de respuestas

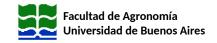
















### Abundancia (% e lotes) de Lolium sp. resistente a glifosato

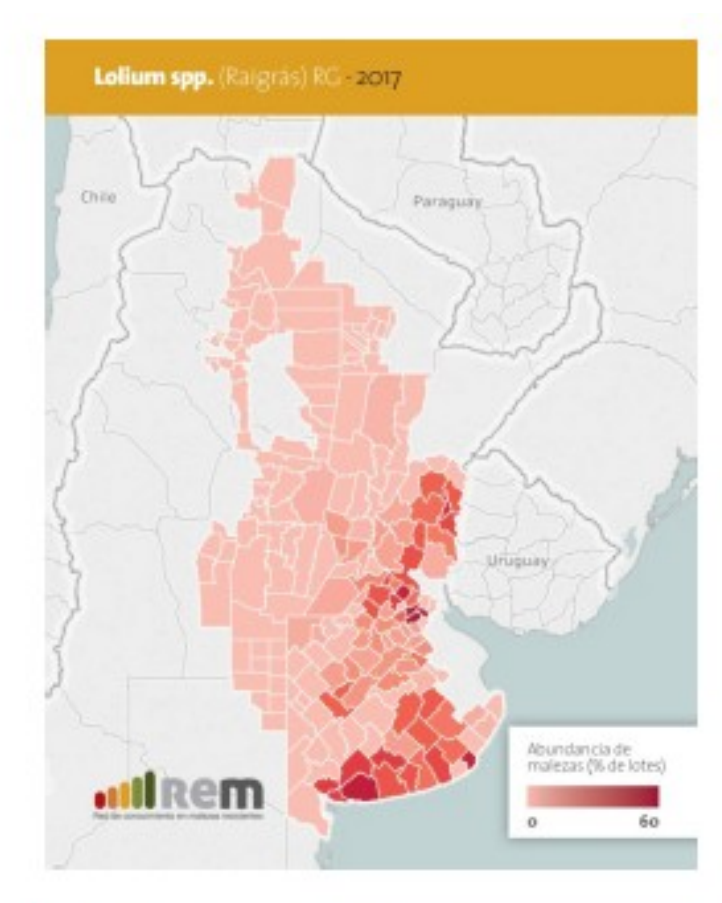
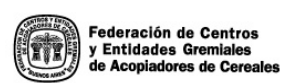


Fig. 8: Mapa de Lolium spp. resistente a glifosato (REM, 2017).

**Cuadro 1.** Porcentaje de poblaciones de Lolium spp con diferente nivel de resistencia a herbicidas inhibidores de las enzima acetolactatosintasa (ALS), Acetil Coenzima A Carboxilasa (ACCasa) y a 5-enolpyruvylshikimato-3-fosfato sintasa (EPSPS). Poblaciones recolectadas al azar en lotes comerciales en diciembre de 2013.

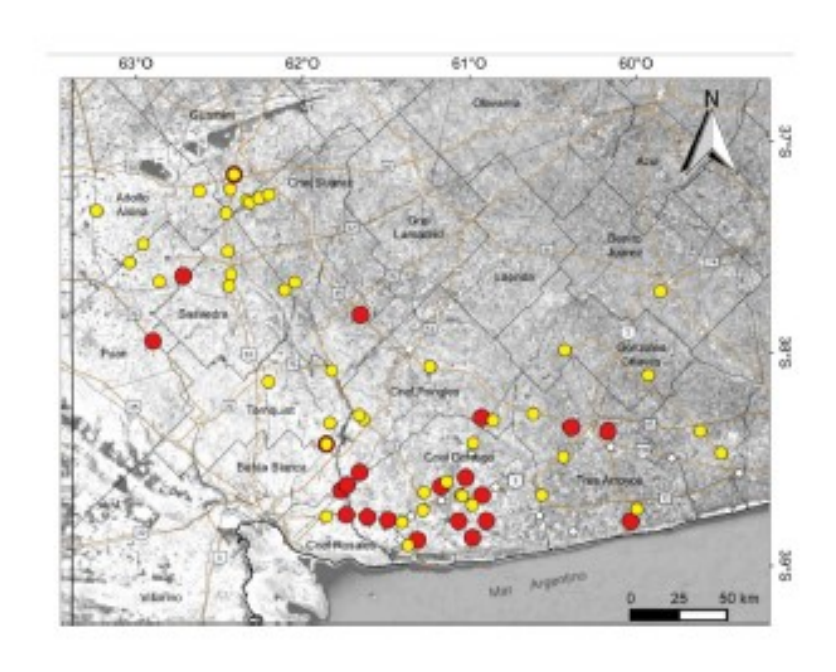
Sobrevivencia (%)	Resistencia	ALS	ACCasa	EPSPS
0	Nula	29,9	16,3	77,3
1-5	muy baja	20,7	20,9	2,3
5-10	Baja	6,9	20,9	0
10-50	Alta	20,7	23,3	6,8
≥50	Muy alta	21,8	18,6	13,6







### Abundancia (% e lotes) de Avena fatua resistente a glifosato



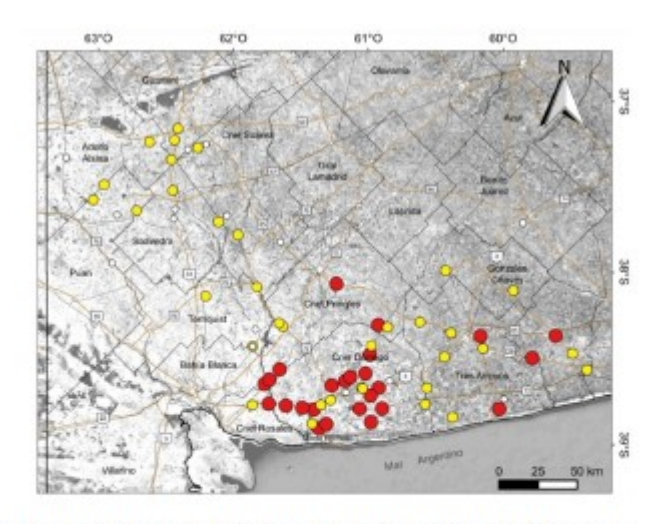
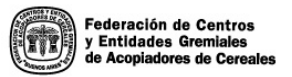


Fig. 11: Distribución de poblaciones de Lolium spp resitentes a ALS. Ver cuadro de Referencias.

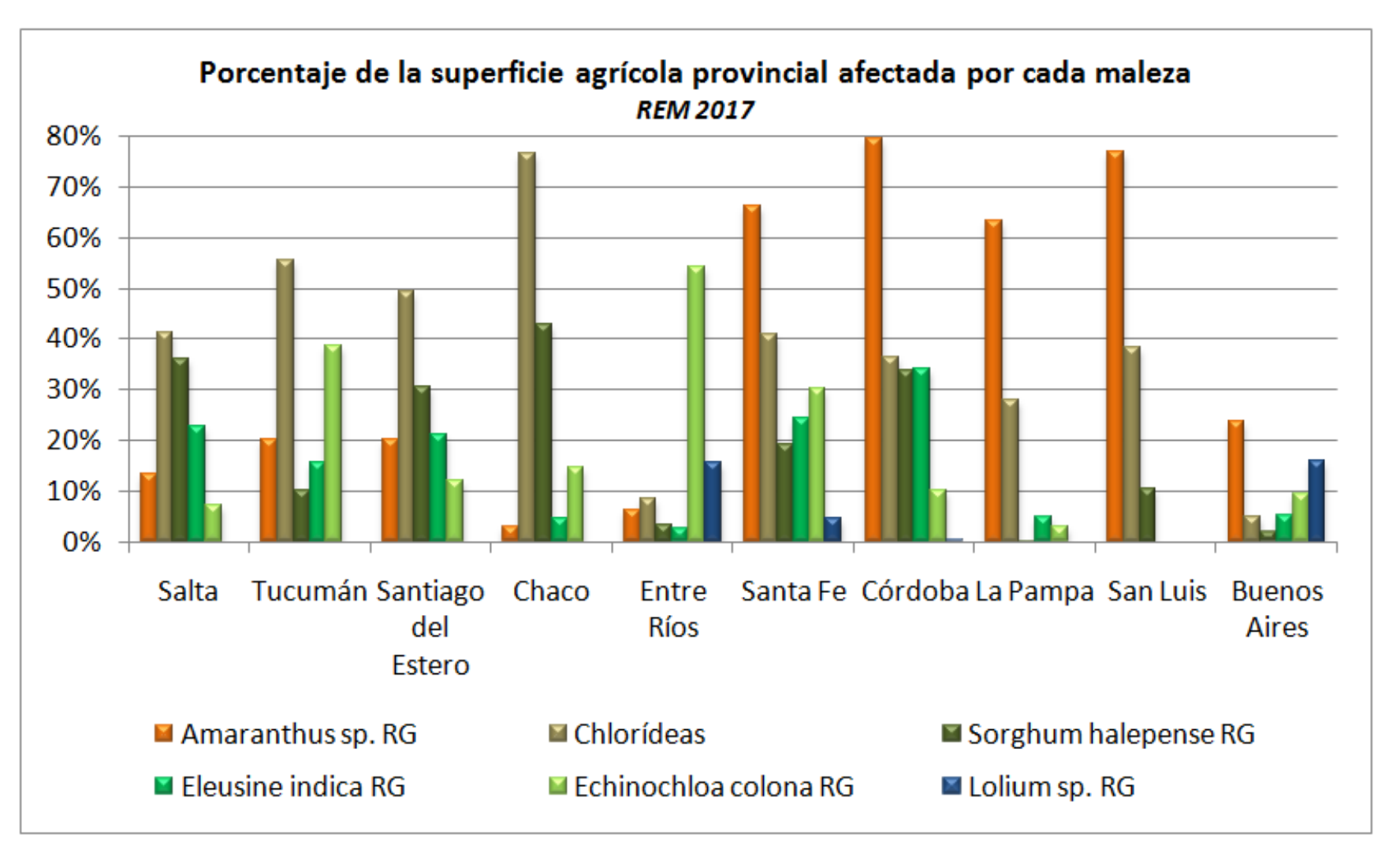
Cuadro de Referencias de los Mapas











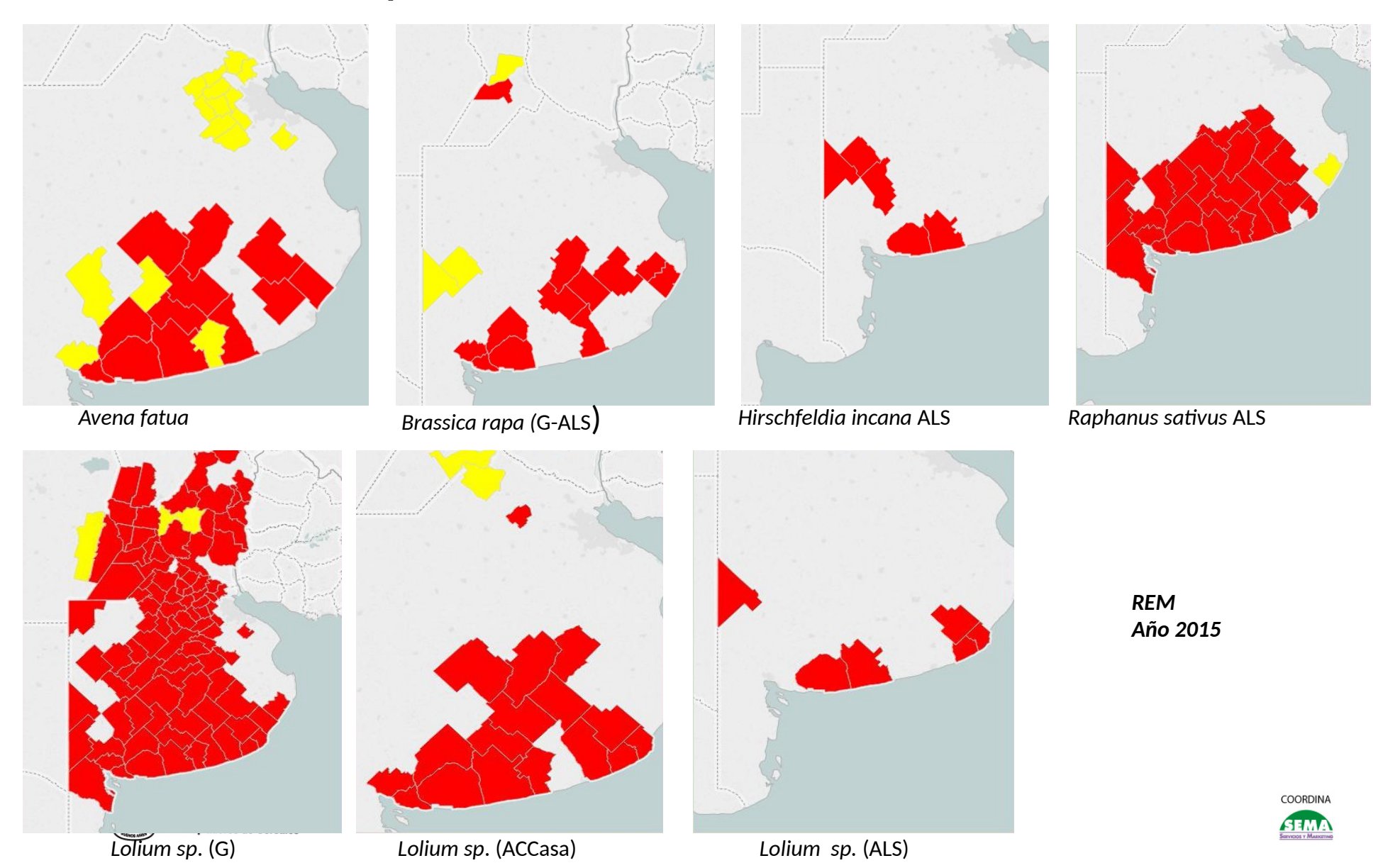








### **Especies Resistentes Sur de Buenos Aires**



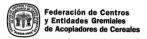


#### Rotar / Mezclar los sitios de acción de los herbicidas

**Table 2.** Thlaspi arvense L. (field pennycress or stinkweed) response, averaged over 4 years (seed bank after 4 years) of an experiment at three sites in western Canada for 0 and 25% ALS inhibitor (ethametsulfuron) rotation frequency treatments and mixture treatment (ALS inhibitor plus bromoxynil/MCPA) (adapted from Beckie and Reboud<sup>33</sup>)

Treatment	Seedling density (% control)	Biomass at maturity (g m <sup>-2</sup> )	Seed production (seeds m <sup>-2</sup> )	Resistant seed <sup>a</sup> (%)	Resistant seed bank <sup>a</sup> (%)
0% ALS inhibitor frequency	96	0.3	155	2	4
25% ALS inhibitor frequency	92	11.0	1210	59	29
Mixture	97	0.6	178	3	8
Contrast: b0% ALS inhibitor versus mixture	NS	NS	NS	NS	NS
Contrast: 25% ALS inhibitor versus mixture	*	*	*	*	*

<sup>&</sup>lt;sup>a</sup> The percentage of seeds resistant to ethametsulfuron in the non-treated control was 5%, both when averaged over 4 years (annual seed production) and in the seed bank at the end of the experiment – not significantly different (*P* > 0.05) from the 0% ALS inhibitor rotation frequency treatment or mixture treatment.



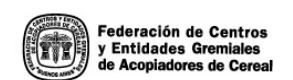


<sup>&</sup>lt;sup>b</sup> Significance: \* P ≤ 0.05; NS, non-significant.



Table 4 Weed species that have evolved enhanced rates of cytochrome P450-mediated metabolism

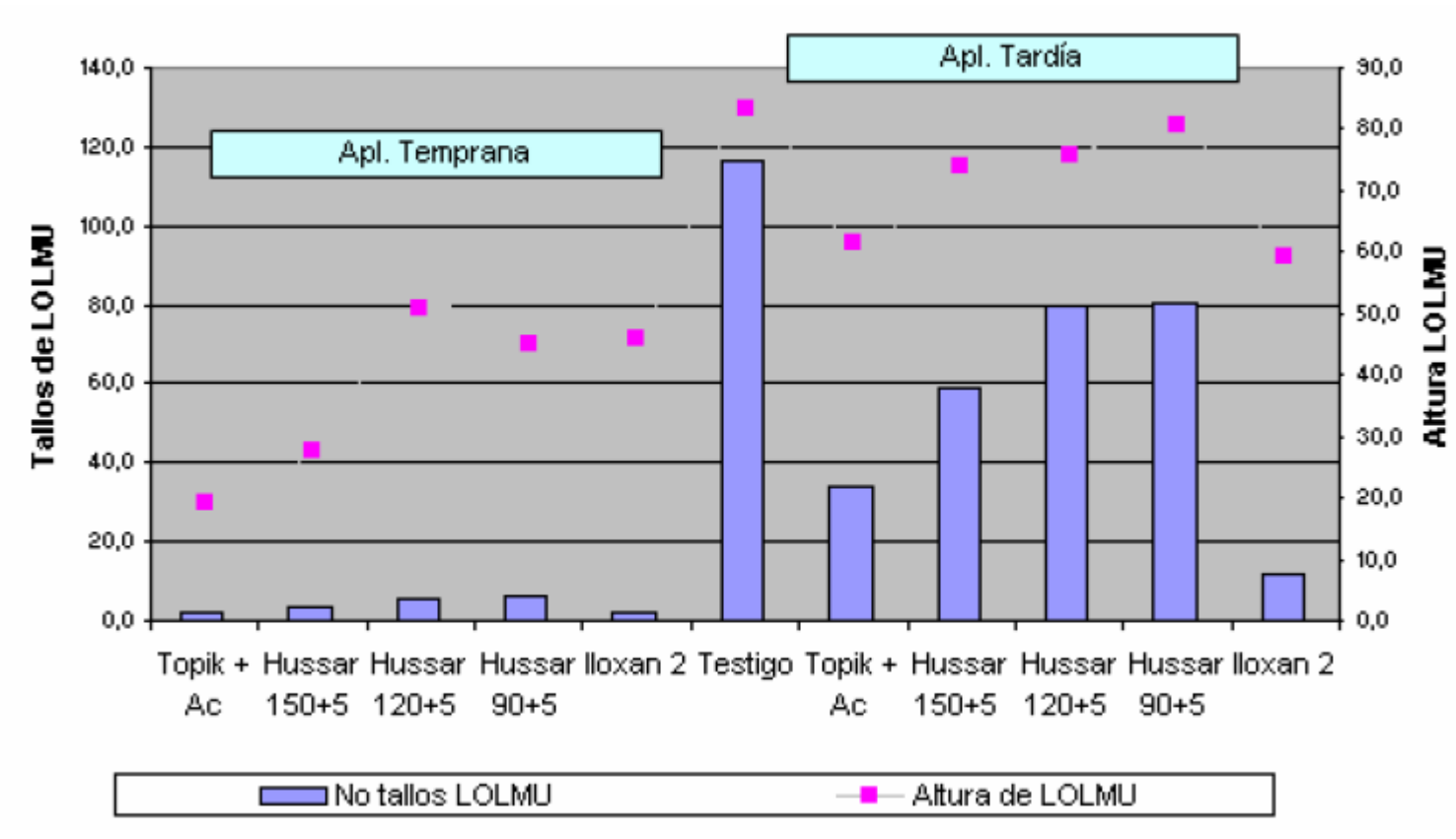
Species	pecies Herbicide	
Amaranthus bybridus	Chlorimuron	AHAS inhibitors
Bromus tectorum	Propoxycarbazone	AHAS inhibitors
Alopecurus myosuroides	Chlorotoluron	PSII inhibitors
	Chlorsulfuron	AHAS inhibitors
	Flupyrsulfuron	
	Clodinafop	ACCase inhibitors
	Diclofop-methyl	
	Propaquizafop	
	Haloxyfop	
	Fenoxaprop-p	
Lolium rigidum	Chlorotoluron	PSII inhibitors
	Atrazine	
	Diuron	
	Metribuzin	
	Simazine	
	Chlorsulfuron	AHAS inhibitors
	Diclofop-methyl	ACCase inhibitors
	Tralkoxydim	
	Pendimethalin	Dinitroaniline
Lolium multiflorum	Diclofop-methyl	ACCase inhibitors
Avena sterilis	Diclofop-methyl	ACCase inhibitors
Phalaris minor	Isoproturon	PSII inhibitors
Echinochloa phyllopogon	Bispyribac-sodium	AHAS inhibitors
	Fenoxaprop-p-ethyl	ACCase inhibitors
	Thiobencarb	Thiocarbamates
Stellaria media	Mecoprop	Synthetic auxins
Digitaria sanguinalis	Fluazifop-P-butyl	ACCase inhibitors
	Imazethapyr	AHAS inhibitors
Sinapis arvensis	Ethametsulfuron-methyl	AHAS inhibitors







### Control de Lolium multiflorum. Comparación de dos épocas de aplicación



EEA INTA Bordenave, Vigna, Lopez, Gigón

